



CHALMERS TEKNISKA HÖGSKOLA

Institutionen för vattenförsörjnings- och avloppsteknik

Publikationsserie B 73:2

GRUNDVATTENAVSÄNKNING

**Del 1. Evaluering av akvifärers
geohydrologiska data med
hjälp av provpumpningsdata.**

L Carlsson

INNEHÅLLSFÖRTECKNING

Sid.

Förord	2
Referat	3
Abstract	3
Inledning	4
Grundläggande betraktelser	5
Allmänt	5
Kontinuitetsekvationen	5
Darcys lag	7
Teoretisk betraktelse av grundvattensänkning vid icke stationära förhållanden	10
Allmänt	10
Akvifär med fri grundvattenyta	11
Grundvattensänkning genom punkt-störning (brunn)	11
Grundvattensänkning genom linje-störning (galleri)	13
Artesisk akvifär	16
Grundvattensänkning genom punkt-störning (brunn)	16
Beräkning av geohydrologiska parametrar inom del av Angeredsområdet	21
Orientering	21
Områdets belägenhet och geologiska uppbyggnad	22
Pumpningens genomförande	22
Beräkningens genomförande	23
Bedömning av grundvattensänkningens tidsförlopp utgående från erhållna värden på geohydrologiska parametrar	25
Sammanfattning	28
Refererad litteratur	29
Bilagor	

FÖRORD

Genom forskningsanslag från Statens råd för byggnadsforskning (BFR) har vid avdelningen för väg- och vattenbyggnad vid Chalmers Tekniska Högskola en geohydrologisk forskningsgrupp organiserats där institutionerna för geologi, geoteknik med grundläggning, vattenbyggnad samt vattenförsörjnings- och avloppsteknik ingår.

Föreliggande arbete utgör ett försök att analysera och beräkna geohydrologiska parametrar för en akvifar inom ett för Göteborgs-regionen vanligt förekommande område där lera av relativt stor mäktighet överlagrar ett mindre friktionslager närmast underlagranda berg. Grundmaterial för beräkningarna har välvilligt ställts till förfogande av ingenjörsfirman Bo Alte AB i Göteborg som på uppdrag av AB Göteborgshem genomfört provpumpning inom Angered-Bergumsområdet.

Göteborg i mars 1973

Leif Carlsson

REFERAT

Olika i litteraturen presenterade modeller för sambandet mellan akvifärer och akvitarder utgående från grundvattenrörelser vid störande ingrepp i akvifären har analyserats. Härvid har de störande ingreppen antagits medföra radiell eller endimensionell parallell grundvattenströmning. Utgående från provpumpningsdata erhållna av ingenjörsfirman Bo Alte AB i Göteborg har transmissivitet T och magasinskoefficient S beräknats för ett område i Angered. Geologiskt uppbyggs området av 25 m lera överlagrande cirka 0,5 m friktionsmaterial närmast berg. Erhållna värden på T och S har varit cirka $10^{-5} \text{ m}^2/\text{sek}$ resp. 10^{-5} . Vidare har en analys av T- och S-värdenas inverkan på tidsförloppet vid grundvattenavsänkning utförts.

ABSTRACT

Groundwater movements caused by withdrawal in aquifers give different models for studying the connection between aquifers and aquitards. The discharges are associated with radial or one-dimensional parallel groundwater movements. Transmissibility and storage coefficient have been calculated for an area in Angered, Gothenburg, from pumping test data made available by the consulting firm Bo Alte Ltd, in Gothenburg. This area is geologically built up by 25 meters of quaternary clay above 0,5 meters of sand and silt overlaying the bedrock. Values of $10^{-5} \text{ m}^2/\text{sek}$. for transmissibility and 10^{-5} for storage coefficient have been calculated. An analysis of the influence of the T- and S-values on the correlation between time and lowering of the ground water table has been carried out.

INLEDNING

Avsänkning av grundvatten ger, beroende av områdets geologiska uppbyggnad olika resultat. Inom områden där markmaterialet genomgående utgöres av friktionsmaterial kan avsänkningen leda till sinade vattentäkter och källor, minskad vattenföring i ytvattendrag samt ev. ökad markinfilt ration (Andersen 1971). I områden med kohesionsjordar uppkommer dessutom sättningsproblem.

Vid avsänkning av grundvattenytan genom djupa störningar, d.v.s. genom exempelvis bortpumpning genom brunnar kan sambandet mellan tid, avstånd och avsänkning ge upplysningar om den grundvattenförande formationens (akvifärens) geohydrologiska parametrar. (Beträffande geohydrologisk nomenklatur hänvisas till Pfannkuch 1969.) Dessa parametrar, (transmissivitet, magasinskoefficient och läckagefaktor) är bestämmande för hastigheten varmed en grundvattenavsänkning drabbar ett område liksom storleken av den areella utbredningen av denna avsänkning. Områden med ett tunt friktionslager närmast berg och överlagrat av relativt mäktiga lerlager är mycket vanliga i Göteborgstrakten. På grund av dessa områdens geologiska uppbyggnad orsakar ett mycket ringa vattenborttag en förhållandevis stor trycksänkning hos grundvattnet i friktionslagret. Metoder för analys av akvifärer utgående från provpumpning har oftast tillämpats på områden där grundvatten uttagits för vattenförsörjningsändamål och där de hydrogeologiska förutsättningarna härför varit gynnsamma. Göteborgsregionens lera-bergsområden har ej varit aktuellt för sådan analys. Ingenjörfirman Bo Alte AB har i Angered utfört provpumpningarna för bestämning av lerans egenskaper. Genom analys av data från dessa provpumpningar har även de geohydrologiska parametrarna för akvifären kunnat beräknas.

GRUNDLÄGGANDE BETRAKTELSER

Allmänt

Analys och betraktelse av grundvattenavsänkning med hänsyn bland annat till tidsförlopp eller areell utbredning bygger i första hand på två grundläggande ekvationer, vilkas kombination med olika randvillkor ger möjlighet till matematisk behandling och beskrivning av avsänkningsförlopp. De grundläggande ekvationerna härvid är kontinuitetsekvationen samt Darcys lag.

Kontinuitetsekvationen

Kontinuitetsekvationen uttrycker matematiskt sambandet mellan tillfördä och bortförda vattenmassor samt förändringen av vattenmassa inom en betraktad del av en grundvattenförande formation under ett bestämt tidsintervall. Generellt kan ekvationen efter vissa förenklingar tecknas (se t.ex. Davis och De Wiest 1966)

$$-\left(\frac{\partial v_x}{\partial x} + \frac{\partial v_y}{\partial y} + \frac{\partial v_z}{\partial z}\right) = S_s \cdot \frac{\partial h}{\partial t} \quad (1)$$

där v_x , v_y , v_z = hastighetskomponenterna i x, y resp z-riktningen
(skenbara medelströmshastigheten)

h = piezometriska tryckhöjden i betraktad punkt

t = tid

S_s = specifika magasinskoefficienten med dimensionen L^{-1} .

Denna definieras som volym vatten som frigöres per enhetsvolym i en akvifar, orsakad av dränering samt vattenexpansion och kompression av akvifären, vid en enhetsavsänkning av piezometriska tryckhöjden (Hantush 1964, Walton 1970).

Multipliceras den specifika magasinskoefficienten med den grundvattenförande sektionens mäktighet b erhålls magasinskoefficienten S enligt

$$S_s \cdot b = S \quad (2)$$

Denna koefficient, S , utgör ett mått på den mängd vatten som kan frigöras ur en grundvattenförande formation vid avsänkning av grundvattnets tryckyta. Storleken av magasinskoefficienten beror av typ av

akvifär. I en artesisk akvifär har Jacob (1950) angivit följande uttryck på magasinskoefficienten

$$S = \rho b (n\beta + \alpha) \quad (3)$$

där α = den grundvattenförande formationens kompressibilitet

β = grundvattnets kompressibilitet

ρ = grundvattnets densitet

n = den grundvattenförande formationens porositet.

Vid härledning av ekv. (3) har antagits att i akvifären ingående jordpartiklar är inkompressibla. När akvifären innehåller lerlager och när vattenavgivningen från leran är omedelbar kan enligt Jacob (1940) magasinskoefficienten tecknas

$$S = \rho b (n\beta + \alpha + \frac{n \cdot C_b}{E_c})$$

där E_c = lerans kompressionsmodul

C_b = dimensionslös kvantitet som till största delen beror av mäktighet, konfiguration och fördelning av lerlagren (Walton 1970).

En härledning av magasinskoefficienten utgående från den exakta utformningen av Darcys lag för kompressibelt vätskeflöde har utförts av De Wiest (1966).

Vid en artesisk akvifär med 0,5 m:s mäktighet och en total porositet av 0,35 blir magasinskoefficienten enligt ekv. (3) $6,6 \cdot 10^{-5}$. Härvid har vattnets kompressibilitet antagits vara $5 \cdot 10^{-10} \text{ m}^2/\text{N}$ och akvifärens kompressibilitet $1,3 \cdot 10^{-8} \text{ m}^2/\text{N}$. Todd (1959) anger storleken av S till $5 \cdot 10^{-5} - 5 \cdot 10^{-3}$ för artesiska akvifärer, vilka utnyttjas för vattenförsörjningsändamål.

I en icke artesisk (fri) akvifär, d.v.s. när en fri grundvattenyta utgör akvifärens övre begränsning kan enligt Hantush (1964) följande uttryck på magasinskoefficienten tecknas

$$S = n_{eff} + \rho b (n\beta + \alpha) \quad (4)$$

där n_{eff} = den grundvattenförande formationens effektiva porositet,
d.v.s. den mängd vatten som per enhetsvolym genom fri

Storleken av den effektiva porositeten överstiger i allmänhet andra termen i högerledet i ekv. (4). Denna senare term kan vanligtvis negligeras och sålunda utgör vid icke artesisk akvifär den effektiva porositeten (även benämnd vattenavgivningstal, TNC 45) ett direkt mått på magasinskoefficienten. Storleken av S varierar härvid vanligtvis mellan cirka $3 \cdot 10^{-1} - 10^{-2}$.

Skillnaden mellan magasinskoefficienten i exempelvis en sand som utgör en fri resp. artesisk akvifär kan, med hänsyn till nämnda förhållanden, vara betydande. För att exempelvis orsaka en grundvattentryck-avsinkning av 1 m vid en fri akvifär med en effektiv porositet av 0,15 erfordras att 150 l/m^2 grundvatten borttages. Vid en artesisk akvifär med magasinskoefficienten $1,5 \cdot 10^{-5}$ (ett inte alltför ovanligt värde i lera-berg-terräng) erhålls motsvarande värde till $0,015 \text{ l/m}^2$ (15 ml/m^2).

Darcys lag

Darcys lag uttrycker matematiskt sambandet mellan ett grundvatten-förande materials förmåga att släppa igenom vatten samt grundvattnets skenbara medelströmshastighet (bruttohastighet) och piezometriska tryckytans gradient enligt

$$v = k \frac{\partial h}{\partial x} \quad (5)$$

där k = vattengenomsläpligheten eller permeabiliteten.

Permeabiliteten beror av porstorleksfördelningen hos det porösa medium vilket genomströmmas av vattnet. Vidare beror permeabiliteten av genomströmmande flödes densitet och viskositet. Sistnämnda faktorer orsakar en maximal variation av permeabiliteten med cirka 2 - 3 gånger medan porstorleksvariationer medför permeabilitetsvariationer mellan cirka $10^{-1} - 10^{-12} \text{ m/sek}$ för vanligast förekommande geologiska bildningar.

Darcys lag gäller under laminära strömningsförhållanden hos grundvattnet. Experimentella undersökningar visar att lagen är giltig för följande värde på Reynolds tal (Todd 1959):

$$Re = \frac{\$ \cdot v \cdot d_{50}}{\mu} < 1 - 10 \quad (6)$$

Detta villkor uppfylls vid normal grundvattenströmning. Dock kan i anslutning till kraftiga grundvattenuttag och avsänkningar villkoret ställvis ej vara uppfyllt.

Sambandet mellan permeabilitet och porstorleksfördelning har behandlats av ett flertal författare (se Todd 1959, Davis och De Wiest 1966). Andersson (1969) har utgående från pF-kurvor, d.v.s. sambandet mellan vattenavsugande tryck samt en därmed ekvivalent pordiameter enligt

$$h_t = \frac{0,3}{d} \quad (7)$$

där h_t = vattenavsugande tryck i cm vattenpelare
 d = pordiameter i cm

tecknat följande samband mellan porstorleksfördelning och permeabilitet.

$$k = \frac{n g g}{32 \cdot \mu} \int_{d_m}^{d_M} x^2 \varphi(x) dx \quad (8)$$

där x = porstorlek
 $\varphi(x)$ = porfrekvensfunktion
 d_m = minsta i analysen betraktad porstorlek
 d_M = största i analysen betraktad porstorlek

Porstorlekskarakteristika för olika grundvattenförande material saknas i allmänhet. Då porstorleksfördelningen är beroende av kornstorleksfördelning, kornform och packningsgrad kan följande värden beträffande permeabilitet hos olika kornstorleksfraktioner och osorterade jordarter överslagsmässigt anges enligt tabell 1.

Tabell 1. Överslagsvärden på permeabilitet för olika jordarter och kornfraktioner. Efter BFR B7:1972.

<u>Kornfaktion</u>			<u>Permeabilitet m/sek</u>
Fingrus	6 - 2	mm	$10^{-1} - 10^{-3}$
Grovsand	2 - 0,6	"	$10^{-2} - 10^{-4}$
Mellansand	0,6 - 0,2	"	$10^{-3} - 10^{-5}$
Grovmo (finsand)	0,2 - 0,06	"	$10^{-4} - 10^{-6}$
Finmo (grovsilt)	0,06 - 0,02	"	$10^{-5} - 10^{-7}$
Mjäla (mellan-finsilt)	0,02 - 0,002	"	$10^{-7} - 10^{-9}$
Ler	< 0,002	"	< 10^{-9}

<u>Moräner</u>			
Grusig morän			$10^{-5} - 10^{-7}$
Sandig morän			$10^{-6} - 10^{-8}$
Siltig morän			$10^{-7} - 10^{-9}$
Lerig morän			$10^{-8} - 10^{-10}$
Moränlera			$10^{-9} - 10^{-11}$

Sambandet mellan porositet och permeabilitet framgår även överslagsmässigt av fig. 1.

TOT. POROSITET

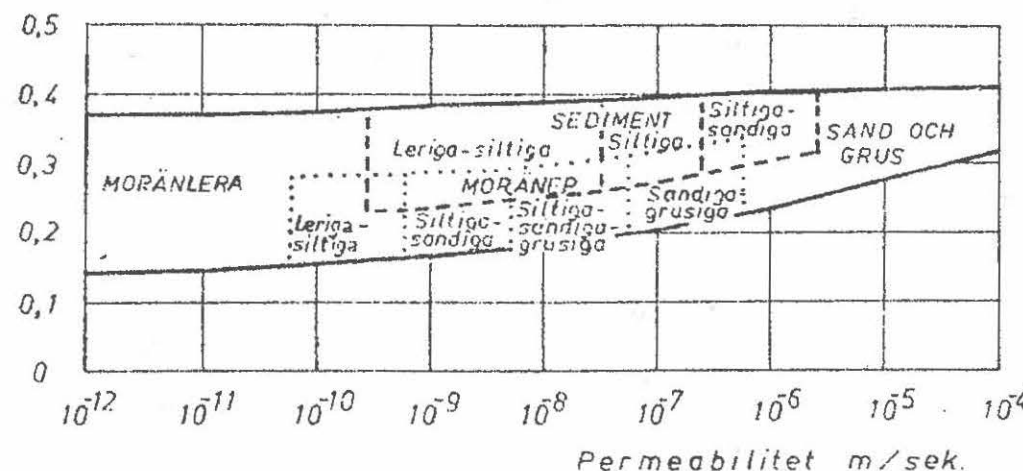


Fig. 1. Samband mellan total porositet och permeabilitet (efter BFR B7:1972).

TEORETISK BETRAKTELSE AV GRUNDVATTENAVSÄNKNING VID ICKE STATIONÄRA FÖRHÄLLANDE

Allmänt

De tidigare nämnda grundläggande ekvationerna kan genom lämplig kombination medelst randvillkor ge möjlighet till matematisk betraktelse av ett grundvattenavsänkningsförflyttning. Följande betraktelser och randvillkor vid olika typer av störning som orsakar grundvattenavsänkning har i huvudsak hämtats från Huisman (1972) och Walton (1970). Beroende av typ av akvifär liksom störningens geometriska utseende har betraktelserna utförts med utgångspunkt från dels

1. Akvifär med fri.grundvattenyta
2. Akvifär med artesiskt grundvatten

dels

- A. Grundvattenavsänkning genom punkt-störning (brunn)
- B. Grundvattenavsänkning genom liniär-störning (galleri)

Av tidigare nämnda grundläggande ekv. har kontinuitetsekv. olika utseende för olika fall. Beroende av störningens geometriska utseende behandlas grundvattenströmningen i akvifären som endimensionell radiell vid brunn och endimensionell parallell vid galleri. Härvid kan således Darcys lag med Dupuits antagande tecknas

$$\text{A. Vid radiell störning: } Q = -2\pi k r H \frac{\partial s}{\partial r} \quad (9)$$

$$Q = -2\pi k r b \frac{\partial s}{\partial r} \quad (10)$$

B. Vid parallell störning:

$$q = -k H \frac{\partial s}{\partial x} \quad (11)$$

$$q = -k b \frac{\partial s}{\partial x} \quad (12)$$

där Q = flöde i m^3 /sek.

q = flöde per m galleri (m^3 /sek.m)

H = den vattenförande sektionens mäktighet vid fri akvifär

b = " " " " " artesisk akvifär

s = avsänkningen

Ekv. (9) och (11) gäller för fri akvifär medan ekv. (10) och (12) är tillämpliga vid artesisk akvifär.

1. Akvifar med fri grundvattenyta

Grundvattenavsänkning inom en akvifar med fri grundvattenyta fordrar jämfört med en artesisk akvifar att betydligt större vattenmängder bortföres. Vid tillämpning av ekvationer som beskriver avsänkningens förlopp antages i första hand att avsänkningens storlek är liten jämfört med den grundvattenförande sektionens mäktighet, d.v.s. den störande inverkan på det matematiska sambandet mellan avsänkning, tid och avstånd som avsänkningen medför negligeras. Korrektioner för denna störning kan dock införas enligt Glover och Bittinger (1961) och Kriz m.fl. (1966) (Se Carlsson 1972) vid analys grundvattenavsänkning vid brunnsuttag.

1.1. Grundvattenavsänkning genom punkt-störning (brunn)

1.1.1. Utan infiltration eller läckage, fig. 2.

$$\text{Kontinuitetsekv. } \frac{\partial Q}{\partial r} = -2\pi r S \cdot \frac{\partial s}{\partial t} \quad (13)$$

ger i kombination med ekv (9)

$$\frac{\partial^2 s}{\partial r^2} + \frac{1}{r} \frac{\partial s}{\partial r} - \frac{S}{kH} \frac{\partial s}{\partial t} = 0 \quad (14)$$

med randvillkoren $r \rightarrow r_0 \quad Q = Q_0$

$r \rightarrow \infty \quad Q = 0$

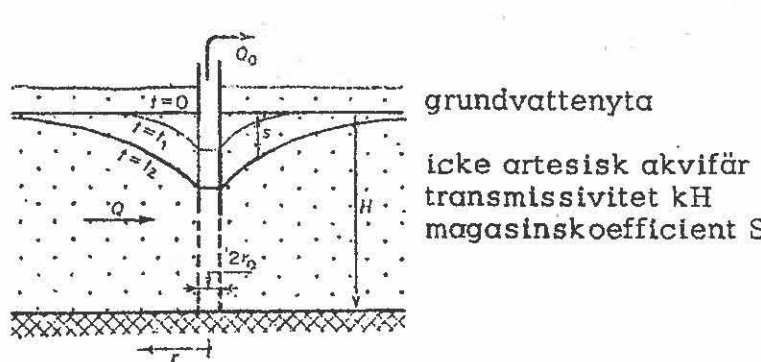


Fig. 2. Icke stationär strömning till brunn i akvifar med fri grundvattenyta. Efter Huisman 1972.

fås

$$s = \frac{Q_0}{4\pi kH} W(u) \quad (15)$$

$$Q = Q_0 \cdot e^{-u} \quad (16)$$

$$u = \frac{S}{4H \cdot k} \cdot \frac{r^2}{t} \quad (17)$$

Funktionen $W(u)$ är tabelleread i bilaga 1.

Med hänsyn till inverkan av födröjd dränering, d.v.s. effekten av att akvifären ej omedelbart dräneras vid snabb grundvattenavsnänkning kan ekv. (15) tecknas (Boulton 1963, Prickett 1965)

$$s = \frac{Q}{4\pi kH} W(u_{ay}, \frac{r}{D}) \quad (18)$$

där $u_{ay} = \frac{S \cdot r^2}{4kH \cdot t}$

$$u_y = \frac{n_{eff} \cdot r^2}{4kH \cdot t}$$

$(\frac{r}{D})$ = parameter.

Funktionen $W(u_{ay}, \frac{r}{D})$ är tabellerad i bilaga 2.

1.1.2. Med läckage från underlagrande artesisk akvifär genom semipermeabelt lager, fig. 3.

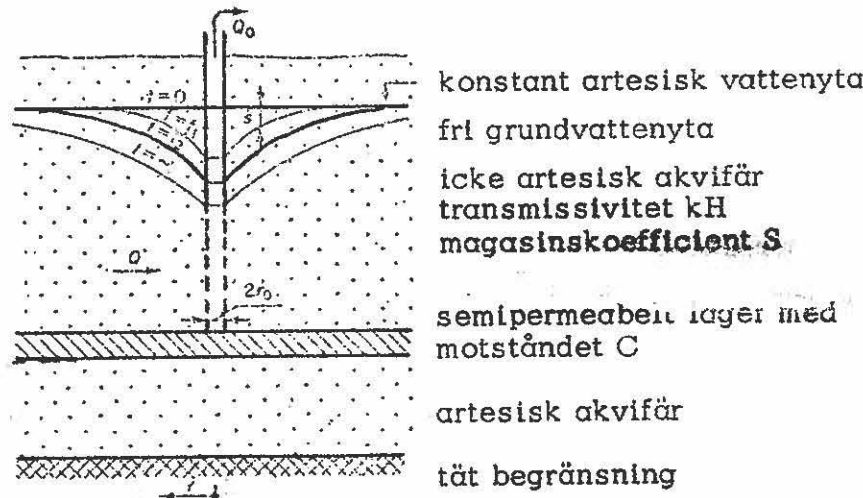


Fig. 3. Icke stationär strömnings till brunn i akvifär med fri

$$\text{Kontinuitetekv. } \frac{\partial Q}{\partial r} = -2\pi r \left(S \frac{\partial s}{\partial t} + \frac{s}{C} \right) \quad (19)$$

ger i kombination med ekv. (9)

$$\frac{\partial^2 s}{\partial r^2} + \frac{1}{r} \frac{\partial s}{\partial r} - \frac{s}{kHC} - \frac{S}{kH} \frac{\partial s}{\partial t} = 0 \quad (20)$$

där $C = \text{det semipermeabla lagrets motstånd}$, d.v.s. förhållandet mellan dess mäktighet m' och dess permeabilitet k' enligt
 $C = \frac{m'}{k'}$

$$\begin{aligned} \text{Randvillkor } r \rightarrow r_0 & \quad Q = Q_0 \\ r \rightarrow \infty & \quad Q = 0 \end{aligned}$$

ger följande lösning av ekv. (20)

$$s = \frac{Q_0}{4\pi kH} W(u, \frac{r}{\lambda}) \quad (21)$$

$$\text{där } \lambda = \sqrt{k \cdot H \cdot C} \quad (22)$$

Funktionen $W(u, \frac{r}{\lambda})$ är tabellerad i bilaga 3.

1.2. Grundvattenavsänkning genom linje-störning (galleri)

1.2.1. Utan infiltration eller läckage, fig. 4.

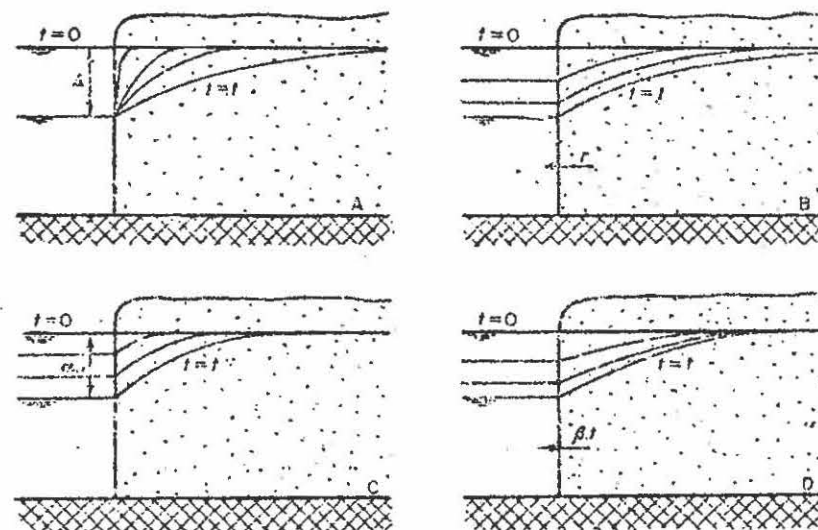


Fig. 4. Icke stationär endimensionell strömning i halvöändlig akvifär

$$\text{Kontinuitetsekv. } \frac{\partial q}{\partial x} = - S \frac{\partial s}{\partial t} \quad (23)$$

ger i kombination med ekv. (11)

$$\frac{\partial^2 s}{\partial x^2} = \frac{S}{kH} \cdot \frac{\partial s}{\partial t}$$

Beroende av randvillkoren har Huisman (1972) presenterat 4 olika lösningar.
Randvillkoren har härvid varit följande:

- a. Plötslig avsänkning av vattenytan i galleriet med storleken Δ .
- b. Konstant grundvattenuttag i galleriet av storleken r .
- c. Liniärt ökande avsänkning av vattenytan i galleriet med storleken αt .
- d. Liniärt ökande grundvattenuttag i galleriet med storleken βt .

De härvid erhållna ekvationerna har följande utseende:

$$\text{a. } x = 0 \quad S_0 = \Delta \quad (24) \quad q_0 = \frac{S_0}{\sqrt{\pi}} \sqrt{SkH} \frac{1}{\sqrt{t}} \quad (25)$$

$$x = x \quad S_x = S_0 E_1 \quad (26) \quad q_x = q_0 E_2 \quad (27)$$

$$\text{b. } x = 0 \quad S_0 = \frac{2q_0}{\sqrt{\pi}} \frac{\sqrt{t}}{\sqrt{SkH}} \quad (28) \quad q_0 = r \quad (29)$$

$$x = x \quad S_x = S_0 \cdot E_3 \quad (30) \quad q_x = q_0 E_1 \quad (31)$$

$$\text{c. } x = 0 \quad S_0 = \alpha t \quad (32) \quad q_0 = \frac{2\alpha}{\sqrt{\pi}} \sqrt{SkH} \cdot \sqrt{t} \quad (33)$$

$$x = x \quad S_0 = S_0 E_4 \quad (34) \quad q_x = q_0 \cdot E_3 \quad (35)$$

$$\text{d. } x = 0 \quad S_0 = \frac{4\beta}{3\sqrt{\pi}} \frac{t \cdot \sqrt{t}}{\sqrt{SkH}} \quad (36) \quad q_u = \beta t \quad (37)$$

$$x = x \quad S_x = S_0 E_5 \quad (38) \quad q_x = q_0 E_4 \quad (39)$$

Funktionen E_1 , E_2 , E_3 , E_4 och E_5 är tabellerade i bilaga 4 där parameter u har följande uttryck

$$u_g = \frac{1}{2} \sqrt{\frac{S}{kH}} \cdot \frac{x}{\sqrt{t}} \quad (40)$$



Fig. 5. Icke stationär endimensionell strömning i halvoändlig akvifär med fri grundvattenyta överlagrande ett semipermeabelt lager. Efter Huisman 1972.

$$\text{Kontinuitetsekv. } \frac{\partial q}{\partial x} = -S \frac{\partial s}{\partial t} - \frac{s}{C} \quad (41)$$

ger i kombination med ekv. (11)

$$\frac{\partial^2 s}{\partial x^2} = \frac{S}{kH} \frac{\partial s}{\partial t} + \frac{s}{kHC} \quad (42)$$

Lösningen av ekv. (23) med olika randvillkor har behandlats av Uneken 1970 (Huisman 1972). Med en plötslig vattensänkning i galleriet med storleken S_0 erhålls (Huisman 1972):

$$s = S_0 \left\{ \frac{1}{2} e^{-\frac{x}{\lambda}} E_3^1(u_1) + \frac{1}{2} e^{+\frac{x}{\lambda}} E_1^1(u_2) \right\} \quad (43)$$

$$q = \frac{S_0}{\sqrt{\pi}} \cdot \frac{\sqrt{SkH}}{\sqrt{t}} \left[\frac{1}{2} e^{-\frac{x}{\lambda}} \left\{ E_2^1(u_1) + \sqrt{\pi} \cdot \sqrt{\frac{t}{SC}} E_1^1(u_1) \right\} + \frac{1}{2} e^{\frac{x}{\lambda}} \left\{ E_2^1(u_2) - \sqrt{\pi} \sqrt{\frac{t}{SC}} E_1^1(u_2) \right\} \right] \quad (44)$$

$$\text{där } \lambda = \sqrt{kHC}, \quad u = \frac{1}{2} \sqrt{\frac{S}{kH}} \frac{x}{\sqrt{t}}$$

$$u_1 = u - \sqrt{\frac{t}{SC}} \quad u_2 = u + \sqrt{\frac{t}{SC}}$$

konstant artesisk vattenyta
variabel fri grundvattenyta

icke artesisk akvifär
transmissivitet kH

semipermeabelt lager
motstånd C

läckande artesisk akvifär
tät begränsning

samt

$$u_1 > 0, E_1^t(u_1) = E_1(u_1) \quad E_2^t(u_1) = E_2(u_1)$$

$$u_1 < 0, E_1^t(u_1) = 2 - E_1(-u_1) \quad E_2^t(u_1) = E_2(-u_1)$$

2. Artesisk akvifär

Grundvattensänkningen vid artesisk akvifär innebär en förändring av piezometriska tryckhöjden. Med hänsyn till tidigare nämnda storleksrelationer mellan magasinskoefficienten i fri resp. artesisk akvifär medför ett förhållandevis ringa grundvattenbortflöde en stor trycksänkning.

2.1. Grundvattenavsänkning genom punkt-störning (brunn)

2.1.1. Utan läckage, fig. 6.

$$\text{Kontinuitetsekv. } \frac{\partial Q}{\partial r} = -2\pi r S \frac{\partial s}{\partial t} \quad (45)$$

ger i kombination med ekv. (10)

$$\frac{\partial^2 s}{\partial r^2} + \frac{1}{r} \frac{\partial s}{\partial r} - \frac{S}{kb} \frac{\partial s}{\partial t} = 0 \quad (46)$$

där b = mäktigheten av den grundvattenförande formationen.

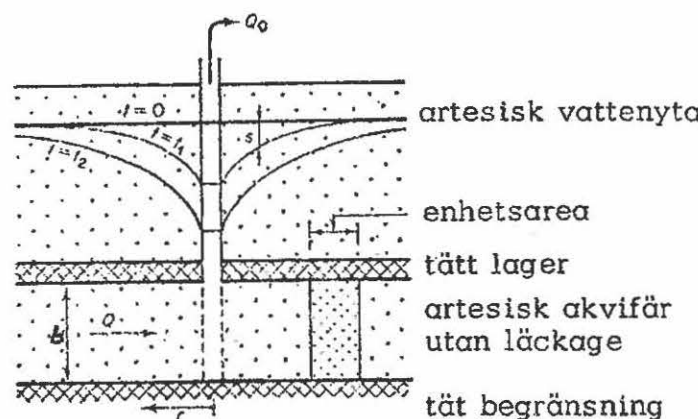


Fig. 6. Icke stationär strömning till brunn i artesisk akvifär utan läckage. Efter Huisman 1972.

Lösningen av ekv. (38) med de randvillkor som gäller för lösning av ekv. (11) ger

$$s = \frac{Q_0}{4\pi kb} W(u) \quad (47)$$

Ekvation (47) är identisk med ekv. (15). I ekv. (15) är dock den vattenförande sektionens mäktighet samma som grundvattenytans höjd över tätbotten vid ostörda förhållanden.

Med randvillkoren

$$s = 0 \quad r \rightarrow \infty$$

$$s = s_w \quad r = r_w$$

d.v.s. med en konstant avsänkning, s_w i uttagsbrunnen vars effektiva radie är r_w erhåller ekv. (46) följande lösning (Jacob och Lohman 1952).

$$Q = 2\pi \cdot k \cdot b \cdot s_w \cdot W(\xi_1) \quad (48)$$

$$\text{där } \xi_1 = \frac{T \cdot t}{r_w^2 \cdot S}$$

Funktionen $W(\xi_1)$ är tabellerad i bilaga 5.

2.1.2. Med läckage från över- eller underlagrände akvifär genom semipermeabelt lager, fig. 7.

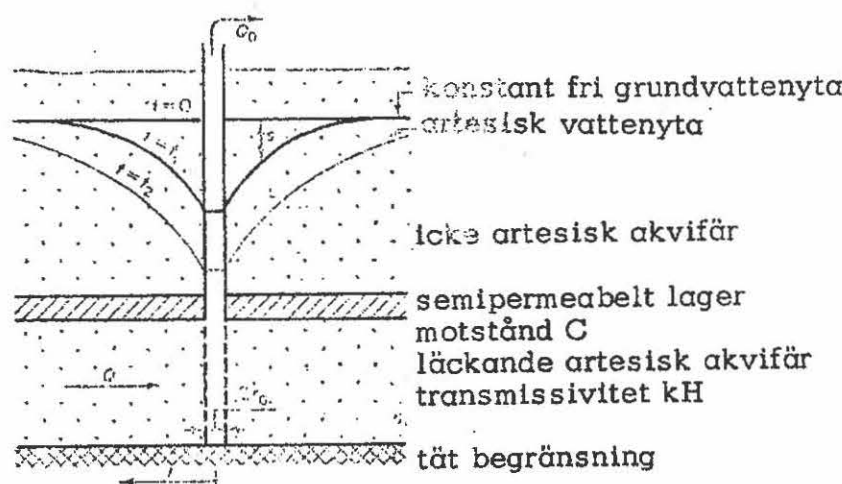


Fig. 7. Icke stationär strömning till brunn i läckande artesisk akvifär. Efter Huisman 1972.

$$\frac{\partial Q}{\partial s} = -2\pi r \partial r \left(S \frac{\partial s}{\partial t} + \frac{s}{C} \right) \quad (49)$$

Kontinuitetsekv. ger i kombination med ekv. (10)

$$\frac{\partial^2 s}{\partial r^2} + \frac{1}{r} \frac{\partial s}{\partial r} - \frac{s}{kbC} - \frac{S}{kb} \cdot \frac{\partial s}{\partial t} = 0 \quad (50)$$

Hantush och Jacob (1955) har presenterat en approximativ lösning av ekv. (42) med följande randvillkor

$$r \rightarrow r_0 \quad Q = Q_0$$

$$r \rightarrow \infty \quad Q = 0$$

och giltig endast för små värden på t. Enligt denna lösning

$$s = \frac{Q}{4\pi kb} W(u, \frac{r}{\lambda}) \quad (51)$$

beror således avsänkningen förutom av k och S även av läckagets storlek.

Funktionen $W(u, \frac{r}{\lambda})$ är tabellerad i bilaga 3.

Vid jämvikt mellan bortförd och genom läckage tillförd vattenmängd, d.v.s. när ingen vattenståndsförändring förekommer kan kontinuitets-ekv. enligt Jacob (1946) tecknas

$$\frac{\partial Q}{\partial s} = -2\pi r \cdot \frac{s}{C} \quad (52)$$

I kombination med ekv. (10) erhålls då följande

$$\frac{\partial^2 s}{\partial r^2} + \frac{1}{r} \frac{\partial s}{\partial r} - \frac{s}{C} = 0 \quad (53)$$

med gränsvillkoren

$$r \rightarrow r_0 \quad Q = Q_0$$

$$r \rightarrow \infty \quad s = 0 \text{ för } t \leq 0$$

fås

$$S = \frac{Q_0}{2\pi kb} \cdot K_0\left(\frac{r}{\lambda}\right) \quad (54)$$

$$Q = Q_0 \frac{r}{\lambda} K_1\left(\frac{r}{\lambda}\right) \quad (55)$$

där K_0 resp. K_1 är Besselfunktioner av andra typen, nollte resp. första ordningen. Besselfunktionerna är tabellerade i bilaga 6.

Med randvillkoren

$$\begin{aligned} s &= 0 & r \\ s &= S_w & r = r_w \end{aligned}$$

d.v.s. med en konstant avsänkning S_w i uttagsbrunnen vars effektiva radie är r_w erhåller ekv. (50) följande lösning (Hantush 1959)

$$Q = 2\pi kb \cdot s_w W\left(\xi_1, \frac{r_w}{B}\right) \quad (56)$$

$$\text{där } \xi_1 = \frac{T \cdot t}{r_w^2 \cdot S}$$

$$\frac{r_w}{B} = \frac{r_w}{\frac{T \cdot m'}{k}}$$

Funktionen $W\left(\xi_1, \frac{r_w}{B}\right)$ är tabellerad i bilaga 7.

2.1.3. Med läckage från över- eller underlagrande semipermeabelt lager innehållande en magasinsförändring inom det senare lagret.

$$\text{Kontinuitetsekv. } \partial Q = -2\pi r dr (S \frac{\partial s}{\partial t} + k' \frac{\partial s'}{\partial z})$$

ger i kombination med ekv. (10) (Hantush 1964)

$$\frac{\partial^2 s}{\partial r^2} + \frac{1}{r} \frac{\partial s}{\partial r} + \frac{k'}{kb} \frac{\partial s'}{\partial z} - \frac{S}{kb} \frac{\partial s}{\partial t} = 0$$

där s' = avsänkningen i det semipermeabla lagret

m' = det semipermeabla lagrets mäktighet

Hantush (1964) urskiljer två olika fall av läckande artesiska system enligt fig. 9. Det första fallet innebär att det semipermeabla lagret överlagras av vattenförande lager i vilket vattenytan ej påverkas av avsänkningen i den undre artesiska akvifären, fig. 8 a. I fall 2 antages det semipermeabla lagret vara överlagrat av impermeabelt lager vilket medför en successiv vattenavsinkning och magasininstömning i det semipermeabla lagret, fig. 8 b. I båda fallen antas grundvattnets trycknivå i artesiska akvifären överensstämma med trycknivån i det semipermeabla lagrets undre del.

Båda fallen ger matematiska samband mellan avsänkning, tid och avstånd, vilkas approximativa uttryck kan sammanfattas enligt följande (Hantush 1964)

För $0, 1 \cdot \frac{m^4 S^4}{k^4} < t < 2 \cdot \frac{m^4 S^4}{k^4}$ (lösning med kort tid)

$$S = \frac{Q}{4\pi k b} H(u, \Psi) \quad (59)$$

$$\text{där } u = \frac{r^2 \cdot S}{4kb \cdot t} \quad (60)$$

$$\Psi = \frac{r}{4B} \sqrt{\frac{S^4}{S}} = \frac{r}{4} \sqrt{\frac{S^4 \cdot k^4}{kb \cdot S \cdot m^4 t}} \quad (61)$$

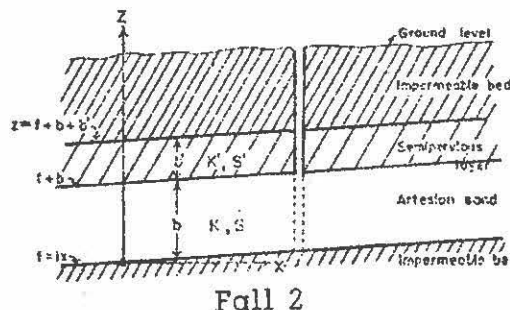
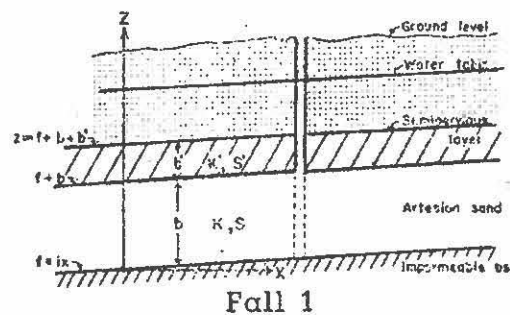


Fig. 8 Olika läckande artesiska system enligt Hantush (1964).

Funktionen $H(u, \psi)$ är tabellerad i bilaga 8. Ekv. (59) är giltig för såväl fall 1 som fall 2.

För $t > 2 \frac{m^3 S'}{k}$ (lösning med lång tid)

$$\text{Fall 1} \quad S = \frac{Q}{4\pi k b} W(\delta_1 u, \frac{r}{\lambda}) \quad (62)$$

$$\text{Fall 2} \quad S = \frac{Q}{4\pi k b} W(\delta_2 u) \quad (63)$$

$$\text{där } \delta_1 = \frac{3S + S'}{3S} \quad (64)$$

$$\delta_2 = \frac{S + S'}{S} \quad (65)$$

Neuman och Witherspoon (1969) har vidareutvecklat teorierna för läckande artesiska akvifärer med magasinsförändring i det semi-permeabla lagret (akvitarden). De härvid erhållna dimensionslösa avsänkningskurvor är giltiga för samtliga värden på tiden t efter pumpstart. För värden på $\psi < 0,01$ synes de av Hantush angivna lösningarna med god noggrannhet kunna tillämpas. Neuman och Witherspoon (1969) har vidare utgående från Hantush fall 1 behandlat avsänkningens inverkan på grundvattenytan i den översta akvifären.

Beräkningar av geohydrologiska parametrar inom del av Angeredsområdet

Orientering

Inom del av Angered - Bergumsområdet har på uppdrag av AB Göteborgshem en långvarig grundvattenavsnökning genom pumpning genomförts av ingenjörsfirman Bo Alte AB, Göteborg. Avsikten med grundvattenavsnökningen har härvid varit att bedöma uppkomna portrycksförändringar i leran samt den härvid uppkomna sättningens storlek. Bo Alte AB har välvilligt ställt material från pumpningen till förfogande, vilket medger utvärdering av geohydrologiska parametrar inom under lera befintligt friktionslager.

Områdets belägenhet och geologiska uppbyggnad

Området är beläget mellan Gunnared och Rösered, cirka 200 m sydöst om korsningen Rävebergsvägen - Gunnilsevägen. Marknivån inom området är belägen cirka + 60 m. ö.h. Geologiskt utgöres jordarterna av mellan 20 - 35 m lera överlagrande 0,2 - 1,0 m friktionsmaterial. Enligt uppgift av Bo Alte AB är leran skiktad med förekomster av mindre tunna mo-lager. Avstånd till närmast beläget berg i dagen är cirka 60 m.

Inom området har 4 st. pumpbrunnar installerats. Dessutom har grundvattenståndsrör ned till friktionslagren samt porvattentryckmätare på olika djup i leran installerats. De olika brunnarnas och grundvattenståndsrörens placering framgår av fig. 9.

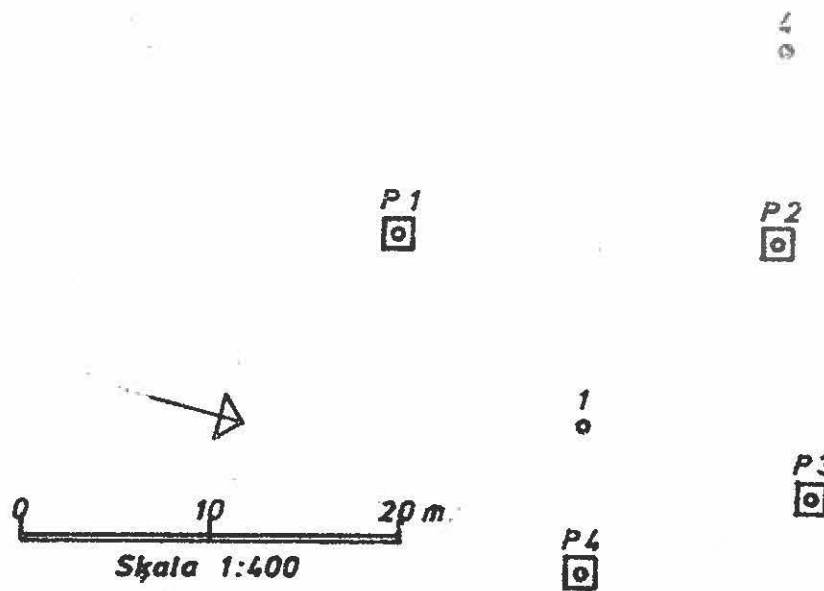


Fig. 9. Plan över pumprör (P1 - P4) och grundvattenståndsrör (1, 4) vid Bo Alte AB:s provpumpningsplats i Angered.

Pumpningens genomförande

Under inledande stadium av cirka 3 veckor (etapp 1) bortpumpades vatten ur rör P1. Vattenkapaciteten uppmätttes vid olika tillfällen, varvid en avtagande kapacitet enligt tabell 2 kunde noteras.

Tabell 2. Vattenkapaciteter från olika pumpar under olika prov-pumpningsetapper.

Tid efter pumpstart tim.	Etapp	Kapacitet m ³ /sek.			
		Pump 1 Rör P1	Pump 2 Rör P2	Pump 3 Rör P3	Pump 4 Rör P4
Start	1	$2,0 \cdot 10^{-4}$	—	—	—
2	1	$1,5 \cdot 10^{-4}$	—	—	—
2,5	1	$1,2 \cdot 10^{-4}$	—	—	—
7,5	1	$9,7 \cdot 10^{-5}$	—	—	—
20,5	1	$6,9 \cdot 10^{-6}$	—	—	—
Start	2	$1,8 \cdot 10^{-4}$	$5,6 \cdot 10^{-5}$	$5,6 \cdot 10^{-5}$	$5,6 \cdot 10^{-5}$
360	2	$7 \cdot 10^{-5}$	$1,4 \cdot 10^{-6}$	$2,8 \cdot 10^{-6}$	$2,8 \cdot 10^{-6}$

Grundvattenytans avsänkning i rör 1 och 4 registrerades varvid redovisning av Bo Alte AB (1972) erhållna avsänkningsdiagrammen erhölls.

Beräkningarnas genomförande

Akvifärens uppbyggnad med ett cirka 25 m mäktigt lerlager överlagrande ett 0,5 m mäktigt friktionslager är artesisk. På grund av lerans förmödade ringa vertikala permeabilitet torde ingen eller mycket litet läckage från densamma förekomma. Erhållna sambandskurvor mellan tid och avsänkning indikerar att bedömt stationärt tillstånd utbildats cirka 215 - 220 timmar efter pumpstart. Orsaken till detta tillstånd kan vara förekommande läckande begränsningar i horisontell led eller vattenläckage från underlagrande berg eller överlagrande lera. Mätningar av porvattentrycket i leran visar att trycksänkningen i friktionslagret orsakar en trycksänkning även i leran, (Bo Alte AB 1972). Vid beräkningarna antogs sålunda att de geohydrologiska förhållandena kan beskrivas som en artesisk akvifar med läckage från överlagrande lera och underlagrande berg. Läckaget från överlagrande lera medföra en minskning i porvattentrycket, vilket torde medföra en magasinsförändring i leran.

Vid beräkningarna har avsänkningsvärdet från observationsrör 1 och 4 använts. Under etapp 1 har beräkningar genomförts utgående från en

pumpkapacitet $1,2 \cdot 10^{-4} \text{ m}^3/\text{sek}$. under icke-stationärt tillstånd. Sambandskurvan mellan avsänkning och tid uppritad på dubbelogaritmiskt papper har superponerats mot sambandskurvorna mellan u och W ($\delta_1 u, \frac{r}{\lambda}$) resp. $W(u, \psi)$. Vid superponeringen visar sig sambandskurvan tid - avsänkning relativt väl överensstämma med Theis sambandskurva, d.v.s. parametern $\psi < 0,01$ (Neuman och Witherspoon 1969). En viss mindre avvikelse erhålls dock under slutskedet av etapp 1 då stationärt tillstånd bedömts råda. Med hänsyn till denna avvikelse har parametern $\frac{r}{\lambda}$ bedömts vara av storleksordningen $< 10^{-2}$ för observationsrör 1. Beräkning av transmissivitet och magasinskoefficient har genomförts genom utgående från match-point-förfarandet, beskrivet av bl.a. Todd (1959), Andersen och Haman (1970), Carlsson (1972) m.fl., varvid ekv. (63) och (65) utnyttjats. Detta med hänsyn till den ringa läckagefaktorn. Beräknade värden på de geohydrologiska parametrarna framgår av tabell 3.

Tabell 3. Beräknade värden på geohydrologiska parametrar utgående från sambandet tid - avsänkning i observationsrör 1, match-point-förfarande (Hantush 1956)

	beteckning	
Transmissivitet	T	$1,0 \cdot 10^{-5} \text{ m}^2/\text{sek}$
Permeabilitet	k	$2,0 \cdot 10^{-5} \text{ m}/\text{sek}$
Magasinskoefficient	$S + S'$	$9,6 \cdot 10^{-6}$

Utgående från antagandet att bedömda stationära tillstånd i etapp 1 och 2 beror av jämvikt mellan bortpumpad grundvattenmängd och vatten-läckage från leran till friktionslagret har försök till beräkning av läckagefaktorn $\frac{k'}{m}$ utförts. Härvid har ekv. (54) utnyttjats varvid värdet på transmissiveten beräknat från icke-stationärt tillstånd använts. Under bedömda stationära tillstånd har pumpkapaciteterna efter 20,5 resp. 360 timmar i tabell 2 utnyttjats. De härvid beräknade värdena på läckagefaktorn $\frac{k'}{m}$ synes vara av storleksordningen $10^{-14} - 10^{-15} \text{ sek}^{-1}$. Osäkerheten vid beräkningarna är dock mycket stor.

Vid beräkningar av T och S enligt Jacobs metod (Jacob 1940) d.v.s. sambandet tid - avsänkning har uppritats i semilogaritmiskt diagram varvid tiden för avsänkningen noll liksom avsänkningen Δs per logcykel

avlästs. De härvid beräknade värdena på transmissivitet och magasinskoefficient framgår av tabell 4.

Tabell 4. Beräknade värden på geohydrologiska parametrar utgående från sambandet tid - avsänkning i observationsrör 1 och 4, Jacobs metod (Jacob 1940).

	beteckning	Obsrör 1	Obsrör 4
Transmissivitet	T	$1,3 \cdot 10^{-5} \text{ m}^2/\text{sek}$	$1,3 \cdot 10^{-5} \text{ m}^2/\text{sek}$
Permeabilitet	k	$2,6 \cdot 10^{-5} \text{ m/sec}$	$2,6 \cdot 10^{-5} \text{ m/sec}$
Magasinskoefficient	S	$8,6 \cdot 10^{-6}$	$7,0 \cdot 10^{-6}$

Bedömning av grundvattensänkningens tidsförlopp utgående från erhållna värden på geohydrologiska parametrar

Utgående från erhållna värden på transmissivitet ($T = 10^{-5} \text{ m}^2/\text{sek}$) och magasinskoefficient ($S = 10^{-5}$) kan en bedömning göras beträffande tid efter pumpstart när grundvattenytan har avsänkts med ett givet värde på olika avstånd från pumpbrunnen. Antages akvifären vara uppbyggd av 0,5 m friktionslager under cirka 25 m lera samt ha oändlig utsträckning i horisontell led erhålls de i fig. 10 uppritade sambanden mellan tid och avstånd från pumpbrunn för given storlek av grundvattenavsänkningen vid en pumpkapacitet av $10^{-4} \text{ m}^2/\text{sek}$. De härvid erhållna sambanden måste dock betraktas utgående från förutsättningen att akvifären är oändlig och homogen samt att inget läckage från överlagrande lera eller underlagrande berg förekommer.

För att bedöma de geohydrologiska parametrarnas inverkan på avsänkningens tidsförlopp har utgående från 3 olika värden på $\frac{Q}{S}$ sambandet mellan magasinskoefficienten S och tiden t efter pumpstart uppritats i fig. 11 på avståndet 10 m från pumpbrunnen för olika värden på transmissiviteten T. I fig. 11 har även uppritats sambandet mellan 'T och tid efter pumpstart för olika värden på s. Härvid erhålls att vid givet värde på $\frac{Q}{S}$ (förhållandet pumpkapacitet och avsänkning) och transmissivitet, T, tiden t direkt proportionell mot magasinskoefficienten S, d.v.s. en minskning av S medför en minskning av t. Vid givet Q-värde och magasinskoefficient S erhålls kortaste tiden t vid ett visst bestämt värde på transmissiviteten T. Detta T-värde varierar beroende av $\frac{Q}{S}$. Sålunda erhålls T cirka $5 \cdot 10^{-5} \text{ m}^2/\text{sek}$ vid $\frac{Q}{S} = 10^{-3} \text{ m}^2/\text{sek}$, T cirka

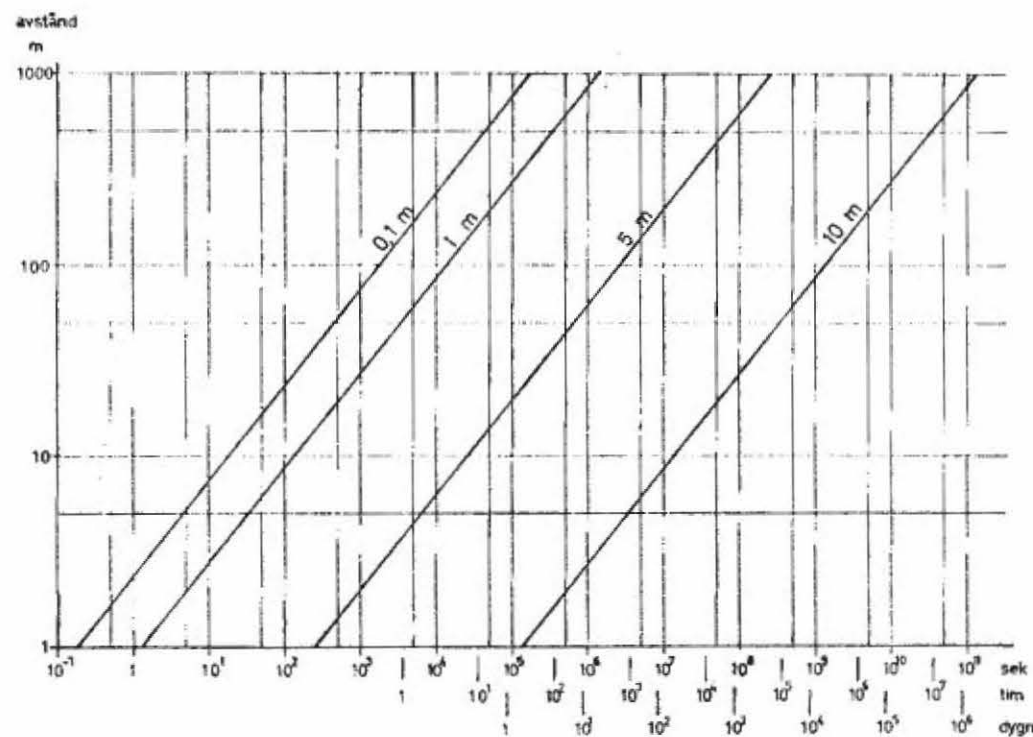


Fig. 10. Tid efter pumpstart när given grundvattensänkning inträffar på olika avstånd från pumpbrunn. Pumpkapacitet $10^{-4} \text{ m}^3/\text{sek}$, transmissivitet $T = 10^{-5} \text{ m}^2/\text{sek}$, magasinskoefficient $S = 10^{-5}$. Akvifären antages ha oändlig utbredning och inget läckage.

$5 \cdot 10^{-6} \text{ m}^2/\text{sek}$ vid $\frac{Q}{S} = 10^{-4} \text{ m}^2/\text{sek}$ samt T cirka $5 \cdot 10^{-7}$ vid $\frac{Q}{S} = 10^{-5} \text{ m}^2/\text{sek}$. Vid förändring av T -värdet vid givet S och $\frac{Q}{S}$ -värdet erhålls tidsvariationen enligt de i fig. 11 uppritade kurvorna.

En sänkning av exempelvis 10 m vid pumpkapacitet $10^{-3} \text{ m}^3/\text{sek}$ samt $S = 10^{-4}$ inträffar med kortaste tid vid ett T -värdet cirka $5 \cdot 10^{-6} \text{ m}^2/\text{sek}$ medan kortaste tiden för 1 m :s sänkning erhålls vid T -värdet cirka $5 \cdot 10^{-5} \text{ m}^2/\text{sek}$.

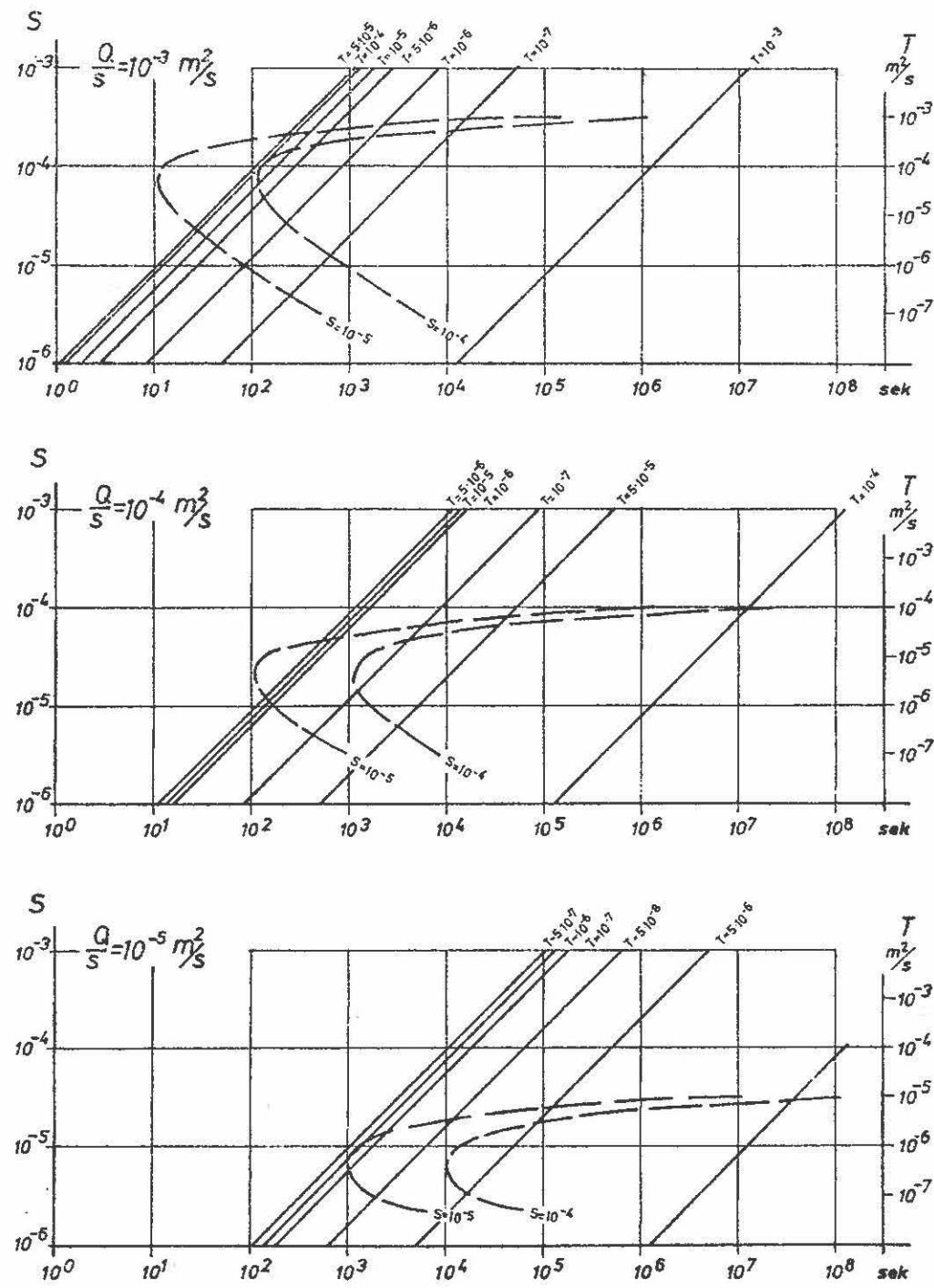


Fig. 11. Samband mellan magasinskoefficient S och tid efter pumpstart för olika $\frac{Q}{S}$ -värden på avstånd 10 m från pumpbrunn, parameter transmissiviteten T (heldragna linjer vänstra skalan). Samband mellan transmissivitet T och tid efter pumpstart för olika $\frac{Q}{S}$ -värden på avstånd 10 m från pumpbrunn, parameter magasinskoefficienten S (streckade kurvor, högra skalan). Akvifären antages ha oändlig utbredning och inget läckage.

Sammanfattning

Utförda beräkningar av geohydrologiska parametrar för ett område i Angered visar att dessa torde vara cirka 10^{-5} för magasinskoefficienten S och $10^{-5} \text{ m}^2/\text{sek}$ för transmissiviteten T. Med en friktionslagermäktighet av 0,5 m motsvarar detta en specifik magasinskoefficient av $2 \cdot 10^{-5} \text{ m}^{-1}$ och permeabilitet av $2 \cdot 10^{-5} \text{ m/sek}$. Det senare värdet talar för att friktionslagret utgöres av mo. De bedömningar beträffande tid efter pumpstart när grundvattnets tryckyta har avsänkts med ett givet värde på olika avstånd från pumpbrunn visar att storleken av parametrarna S och T härvid inverkar så att tiden direkt blir kortare vid avtagande värde på S. T-värdets betydelse för tidsförloppet beror vid konstant S-värde av förhållande mellan pumpkapacitet och avsänkningen enligt fig. 11.

REFERERAD LITTERATUR

- Andersen, L.J., Haman, Z. 1970: Nye metoder for prøvepumpning af boringer og grundvandsreservoirer. Danmarks Geologiske Undersøkelse, III Række, nr 38, København 1970.
- Andersen, L.J. 1971: Infiltrations- og afstrømningsforhold. Følgervirkninger af grundvandsindvinding. Grundvattenforekomst i sydvästra Skåne. Symposium vid Lunds Tekniska Högskola 7 - 8 juni 1971. Sid. 133 - 145.
- Andersson, S. 1969: Markfysikaliska undersökningar i odlad jord. XIX. Teoretiska modellstudier av kapillära systems k-värden som funktioner av porstorleksfördelning, bindningstryck och vattenhalt. Grundförbättring. Årg. 22, nr 4. 1969.
- BFR B7:1972, Permeabilitet och kapillaritet. Byggforskningens informationsblad B7:1972.
- Bo Alte AB. 1972: Kontrollerad grundvattensänkning för bestämning av förkonsolideringstryck och kompressionsegenskaper på djupet. BFR:s programgrupp för geohydrologisk forskning, lägesrapporter nr 2. 28 nov. 1972.
- Boulton, N.S. 1963: Analysis of data from non-equilibrium pumping tests allowing for delayed yield from storage. Proceedings of the Institution of Civil Engineers, Vol. 26, sid. 469 - 610, November 1963, London.
- Carlsson, L. 1972: Metoder för praktisk bestämning av grundvattnets ström hastighet. Del IV: Analys av icke stationär strömning vid prøvpumpning av icke artesiskt grundvatten. Litteraturstudie. Chalmers Tekniska Högskola, Institutionen för vattenförsörjnings- och avloppsteknik, publikationsserie B 72:1. Göteborg 1972.
- Davis, S.N., De Wiest, R.J.M. 1966: Hydrogeology. John Wiley & Sons. New York 1966.

- De Wiest, R.J. M. 1966: On the storage coefficient and the equations of groundwater flow. *Journal of Geophysical Research.* Vol. 71, No 4, February 1966, p. 1117 - 1122.
- Glover, R.E., Bittinger, M.W. 1961: Drawdown due to pumping from an unconfined aquifer. *Transactions, ASCE, Part III,* Vol. 126, Paper No 3142, 1961, p. 176 - 183.
- Hantush, M.S., Jacob, C.E. 1955: Non-steady radial flow in an infinite leaky aquifer. *Transactions, American Geophysical Union.* Vol. 36, No 1, February 1955, p. 95 - 100.
- Hantush, M.S. 1959: Non-steady flow to flowing wells in leaky aquifers. *Journal of Geophysical Research.* Vol. 64, No 8.
- Hantush, M.S. 1964: Hydraulics of wells. *Advances in hydroscience.* Vol. 1 - 1964, p. 281 - 432. Academic Press. New York 1964.
- Huisman, L. 1972: Groundwater recovery. Macmillan. London 1972.
- Jacob, C.E. 1940: On the flow of water in an elastic artesian aquifer. *Transactions, American Geophysical Union.* Vol. 21, Part II, Aug. 1940, p. 574 - 586.
- Jacob, C.E. 1946: Radial flow in a leaky artesian aquifer. *Transactions, American Geophysical Union.* Vol. 27, no II, April 1946, p. 198 - 208.
- Jacob, C.E. 1950: Flow of ground water. *Engineering Hydraulics.* Kap. 5. John Wiley & Sons Inc., New York 1950.
- Jacob, C.E., Lohman, S.W. 1952: Nonsteady flow to a well of a constant drawdown in an extensive aquifer. *Transactions, American Geophysical Union.* Vol. 33, no 4.
- Kriz, G.J., Scott, V.H., Burg, R.H. 1966: Analyses of parameters of an unconfined aquifer. *Journal of the Hydraulics Division, ASCE,* vol. 92, no HY5, Proc. Paper 4901, Sept. 1966, p. 49 - 56.

- Neuman, S.P., Witherspoon, P.A. 1969: Applicability of current theories of flow in leaky aquifers. Water Resources Research. Vol. 5, no 4, p. 817 - 829, August 1949.
- Pfannkuch, H-O. 1969: Elsevier's dictionary of hydrogeology. Elsevier Publishing Company. Amsterdam 1969.
- Prickett, T.A. 1965: Type-curve solution to aquifer tests under water-table conditions. Ground Water, Vol. 3, No 3, July 1965, p. 5 - 14.
- TNC 45: Vattenordlista 2. Tekniska Nomenklaturcentralen 1970.
- Todd, D.K. 1959: Ground Water hydrology. John Wiley & Sons, Inc. New York 1959.
- Walton, W.C. 1970: Groundwater resource evaluation. McGraw-Hill Book Company. New York 1970.

BILAGA 1

Sambandet mellan u och $W(u)$.

$$u = \frac{r^2 \cdot S}{4 H k \cdot t}$$

$$W(u) = \int_u^\infty \frac{e^{-v}}{v} dv$$

r = avstånd från pumpbrunens centrumlinje

S = magasinskoefficient

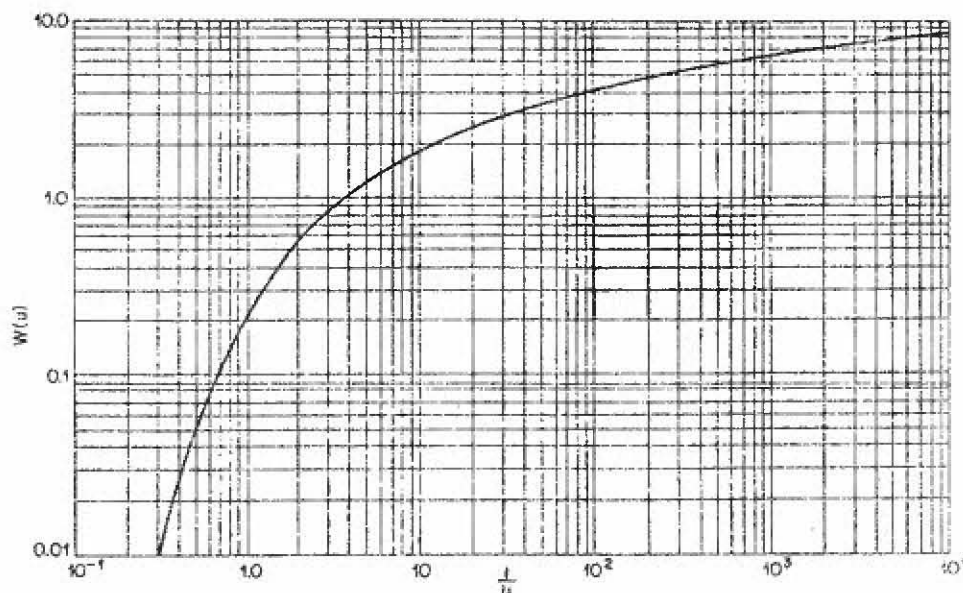
k = permeabiliteten

H = vattenförande sektionens mäktighet före pumpstart

t = tid

Litt: Theis 1935

Huisman 1972



Sambandet $\frac{t}{u}$ och $W(u)$. Efter Walton 1970.

$W(u)$ för värden på u mellan 10^{-15} och 9,9.

u	$N \times 10^{-15}$	$N \times 10^{-14}$	$N \times 10^{-13}$	$N \times 10^{-12}$	$N \times 10^{-11}$	$N \times 10^{-10}$	$N \times 10^{-9}$	$N \times 10^{-8}$	$N \times 10^{-7}$	$N \times 10^{-6}$	$N \times 10^{-5}$	$N \times 10^{-4}$	$N \times 10^{-3}$	$N \times 10^{-2}$	$N \times 10^{-1}$	N
1·0	33·9616	31·6500	29·3564	27·0538	24·7312	22·4486	20·1460	17·8435	15·5400	13·2383	10·9357	8·6332	6·3215	4·0379	1·8229	0·2194
1·1	33·8662	31·5637	29·2611	26·9585	24·6559	22·3533	20·0507	17·7482	15·4456	13·1430	10·8204	8·5379	6·2353	3·9436	1·7371	0·1869
1·2	33·7792	31·4767	29·1741	26·8715	24·5682	22·2663	19·9637	17·6411	15·3586	13·0560	10·7534	8·4509	6·1494	3·8576	1·6595	0·1584
1·3	33·6992	31·3986	29·0949	26·7914	24·4889	22·1863	19·8837	17·5811	15·2586	13·9759	10·6524	8·3709	6·0695	3·7781	1·5889	0·1355
1·4	33·6251	31·3223	29·0199	26·7173	24·4147	22·1122	19·8096	17·5070	15·2044	12·9013	10·5993	8·2918	5·9955	3·7054	1·5241	0·1162
1·5	33·5561	31·2535	28·9509	26·6433	24·3458	22·0432	19·7406	17·4380	15·1354	12·8373	10·5303	8·2278	5·9266	3·6374	1·4645	0·1079
1·6	33·4916	31·1890	28·8864	26·5838	24·2812	21·9735	19·6760	17·3735	15·0709	12·7683	10·4657	8·1634	5·8621	3·5739	1·4092	0·08631
1·7	33·4309	31·1283	28·8238	26·5232	24·2206	21·9180	19·6154	17·1228	15·0103	12·7077	10·4051	8·1027	5·8016	3·5143	1·3578	0·07473
1·8	33·3738	31·0712	28·7686	26·4660	24·1634	21·8608	19·5583	17·2557	14·9531	12·6505	10·3479	8·0455	5·7446	3·4581	1·3089	0·06717
1·9	33·3197	31·0171	28·7145	26·4119	24·1094	21·8068	19·5042	17·2016	14·8990	12·5964	10·2939	7·9915	5·6906	3·4050	1·2649	0·05620
2·0	33·2684	30·9658	28·6632	26·3607	24·0581	21·7555	19·4529	17·1503	14·8477	12·5451	10·2426	7·9402	5·6394	3·3547	1·2227	0·04890
2·1	33·2196	30·9170	28·6145	26·3119	24·0093	21·7067	19·4041	17·1015	14·7939	12·4964	10·1938	7·8914	5·5907	3·3069	1·1829	0·04261
2·2	33·1731	30·8705	28·5679	26·2653	23·9628	21·6602	19·3570	17·0550	14·7524	12·4498	10·1473	7·8449	5·5443	3·2614	1·1454	0·03719
2·3	33·1286	30·8261	28·5235	26·2209	23·9183	21·6157	19·3131	17·0106	14·7080	12·4054	10·1028	7·8004	5·4999	3·2179	1·1099	0·03256
2·4	33·0861	30·7835	28·4809	26·1783	23·8758	21·5732	19·2706	16·9680	14·6654	12·3628	10·0603	7·7579	5·4575	3·1763	1·0762	0·02844
2·5	33·0453	30·7427	28·4401	26·1375	23·8349	21·5323	19·2298	16·9272	14·6246	12·3220	10·0194	7·7172	5·4167	3·1365	1·0443	0·02491
2·6	33·0060	30·7035	28·4009	26·0983	23·7957	21·4931	19·1905	16·8880'	14·5854	12·2828	9·9802	7·6779	5·1776	3·0983	1·0139	0·02185
2·7	32·9683	30·6657	28·3631	26·0606	23·7580	21·4554	19·1528	16·8502	14·5476	12·2450	9·9425	7·6401	5·3400	3·0615	0·9849	0·01918
2·8	32·9319	30·6294	28·3268	26·0242	23·7216	21·4190	19·1164	16·8139	14·5113	12·2087	9·9061	7·6038	5·3037	3·0261	0·9573	0·01686
2·9	32·8968	30·5943	28·2917	25·9891	23·6865	21·3839	19·0813	16·7788	14·4762	12·1736	9·8710	7·5687	5·2990	3·0939	0·91482	
3·0	32·8629	30·5604	28·2578	25·9552	23·6526	21·3500	19·0474	16·7319	14·4423	12·1397	9·8371	7·5348	5·2349	2·9591	0·9057	0·01305
3·1	32·8302	30·5276	28·2250	25·9224	23·6198	21·3172	19·0146	16·7121	14·4095	12·1069	9·8043	7·5020	5·2022	2·9273	0·8815	0·01149
3·2	32·7984	30·4958	28·1932	25·8907	23·5880	21·2855	18·9829	16·6803	14·3777	12·0751	9·7726	7·4703	5·1765	2·8965	0·8583	0·01013
3·3	32·7676	30·4651	28·1625	25·8599	23·5573	21·2547	18·9521	16·6475	14·3470	12·0444	9·7418	7·4395	5·1399	2·8668	0·8361	0·00839
3·4	32·7378	30·4352	28·1326	25·8300	23·5274	21·2249	18·9233	16·6197	14·3171	12·0145	9·7120	7·4097	5·1102	2·8379	0·8147	0·007891
3·5	32·7088	30·4062	28·1016	25·8010	23·4985	21·1959	18·8923	16·5907	14·2881	11·9855	9·6830	7·3807	5·0813	2·8099	0·7942	0·006970
3·6	32·6809	30·3780	28·0780	25·7725	23·4703	21·1677	18·8651	16·5625	14·2599	11·9574	9·6548	7·3526	5·0532	2·7828	0·7745	0·006160
3·7	32·6532	30·3506	28·0481	25·7455	23·4429	21·1403	18·8377	16·5351	14·2323	11·9300	9·6274	7·3252	5·0259	2·7563	0·7554	0·005448
3·8	32·6266	30·3240	28·0214	25·7188	23·4162	21·1136	18·8110	16·5085	14·2059	11·9033	9·6007	7·2985	4·9993	2·7306	0·7371	0·004820
3·9	32·6006	30·2988	27·9954	25·6928	23·3902	21·0877	18·7851	16·4825	14·1799	11·8773	9·5248	7·2725	4·9735	2·7056	0·7194	0·004267
4·0	32·5753	30·2727	27·9701	25·6675	23·3649	21·0623	18·7598	16·4572	14·1546	11·8520	9·5459	7·2472	4·9482	2·6813	0·7024	0·003779
4·1	32·5506	30·2480	27·9454	25·4428	23·3402	21·0376	18·7351	16·4325	14·1299	11·8273	9·5248	7·2223	4·9236	2·6676	0·6859	0·003349
4·2	32·5265	30·2239	27·9213	25·3187	23·3161	21·0136	18·7110	16·4084	14·1058	11·8032	9·5037	7·1985	4·8997	2·6344	0·6700	0·002969
4·3	32·5029	30·2004	27·8978	25·2952	23·2926	20·9900	18·6874	16·3884	14·0822	11·7797	9·4771	7·1749	4·8762	2·6119	0·6546	0·002633
4·4	32·4800	30·1774	27·8748	25·2772	23·2696	20·9670	18·6644	16·3619	14·0593	11·7567	9·4541	7·1520	4·8533	2·5899	0·6397	0·002336
4·5	32·4575	30·1549	27·8523	25·2597	23·2471	20·9446	18·6420	16·3394	14·0368	11·7342	9·4317	7·1295	4·8310	2·5684	0·6253	0·002073
4·6	32·4355	30·1329	27·8303	25·2327	23·2252	20·9226	18·6206	16·3174	14·0143	11·7122	9·4097	7·1075	4·8011	2·5374	0·6114	0·001841
4·7	32·4140	30·1114	27·8083	25·2062	23·2037	20·9011	18·5958	16·2959	13·9933	11·6907	9·3882	7·0860	4·7877	2·5268	0·5979	0·001635
4·8	32·3929	30·0904	27·7878	25·1852	23·1826	20·8809	18·5774	16·2748	13·9723	11·5697	9·3671	7·0650	4·7667	2·5068	0·5848	0·001453
4·9	32·3723	30·0697	27·7672	25·1646	23·1620	20·8594	18·5568	16·2542	13·9516	11·4691	9·3465	7·0444	4·7462	2·4871	0·5721	0·001291
5·0	32·3521	30·0495	27·7470	25·1444	23·1418	20·8392	18·5366	16·2340	13·9314	11·4259	9·3263	7·0242	4·7261	2·4679	0·5598	0·001148
5·1	32·3323	30·0297	27·7271	25·1246	23·1220	20·8194	18·5168	16·2142	13·9116	11·4091	9·3065	7·0044	4·7054	2·4491	0·5478	0·001021
5·2	32·3129	30·0103	27·7077	25·1031	23·1026	20·8006	18·4974	16·1948	13·8922	11·3896	9·2871	6·9850	4·6871	2·4306	0·5363	0·0009086
5·3	32·2939	29·9913	27·6877	25·3861	23·0835	20·7505	18·4783	16·1758	13·8732	11·3766	9·2681	6·9659	4·6681	2·4126	0·5250	0·0008080
5·4	32·2752	29·9726	27·6700	25·3674	23·0648	20·7622	18·4556	16·1571	13·8545	11·3519	9·2494	6·9473	4·6495	2·3948	0·5140	0·007198
5·5	32·2568	29·9542	27·6516	25·3491	23·0513	20·7439	18·4413	16·1367	13·8316	11·3336	9·2310	6·9289	4·6313	2·3775	0·5034	0·0006409
5·6	32·2388	29·9362	27·6336	25·3310	23·0285	20·7259	18·4233	16·1207	13·8181	11·3155	9·2109	6·9109	4·6134	2·3604	0·4930	0·0005708
5·7	32·2211	29·9185	27·6139	25·3133	23·0108	20·7082	18·4056	16·1030	13·8004	11·4978	9·1953	6·8932	4·5958	2·3437	0·4830	0·0005085
5·8	32·2037	29·9011	27·5958	25·2959	23·0934	20·6872	18·3882	16·0566	13·7830	11·4804	9·1779	6·8788	4·5785	2·3273	0·4742	0·0004532
5·9	32·1866	29·8840	27·5784	25·2789	23·0737	20·6737	18·3711	16·0685	13·7659	11·4633	9·1608	6·8588	4·5615	2·3111	0·4637	0·0004039
7·0	32·0156	29·7131	27·4105	25·1079	22·8053	20·5027	18·2001	15·8976	13·5950	11·2924	8·9899	6·6879	4·3916	2·1508	0·3738	0·0001155
7·1	32·0015	29·6982	27·3963	25·0937	22·7911	20·4853	18·1860	15·8834	13·4590	11·2782	8·9757	6·6547	4·3775	2·1376	0·3668	0·0001032
7·2	31·9875	29·6849	27·3823	25·0797	22·7771	20·4746	18·1730	15·8694	13·4367	11·2612	8					

BILAGA 2

Sambandet mellan $\frac{1}{u_{ay}}$ och $W(u_{ay}, \frac{r}{D})$ för olika värden på parametern $(\frac{r}{D})$

$$\frac{1}{u_a} = \frac{4k \cdot H \cdot t}{r^2 \cdot S_a}$$

$$\frac{1}{u_y} = \frac{4k \cdot H \cdot t}{r^2 \cdot S_y}$$

$(\frac{r}{D})$ = parameter för födröjd dränering

r = avstånd från pumpbrunnens centrumlinje

S_a = magasinskoefficienten under pumpningens initialseda

$S_a + S_y$ = magasinskoefficienten under pumpningens slutseda

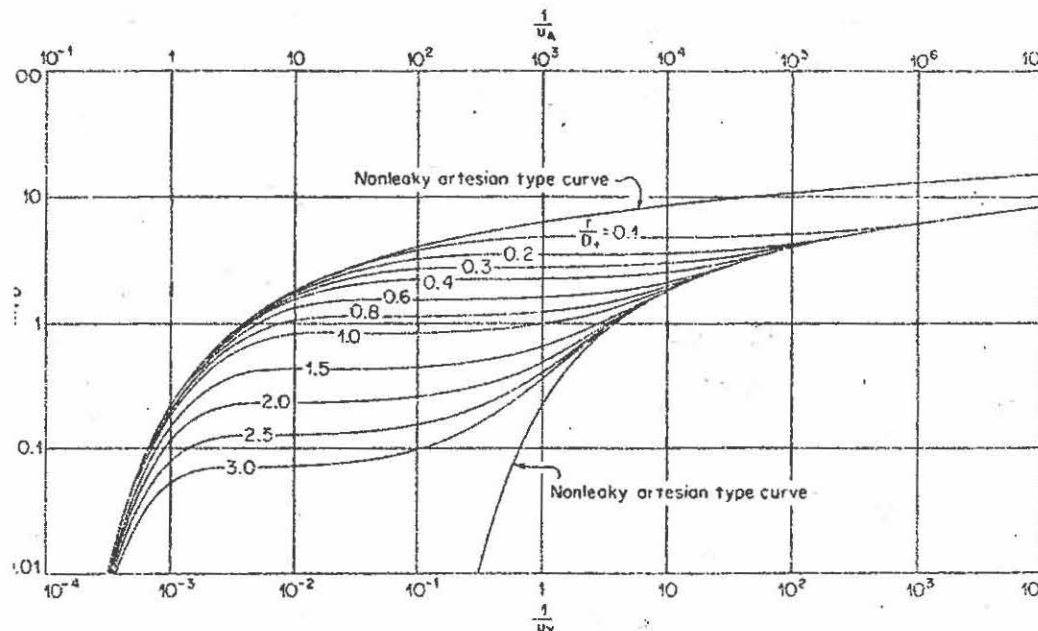
k = permeabiliteten

H = vattenförande sektionens mäktighet före pumpstart

t = tid

Litt: Boulton 1963

Prickett 1965



Typkurvor för en icke-artesisk akvifär med födröjd dränering.

Efter Boulton 1963.

$\frac{r}{D} = 0.01$			$\frac{r}{D} = 0.1$			$\frac{r}{D} = 0.2$		
$\frac{1}{u_a}$	$\frac{1}{u_y}$	$W(u_{ay})$	$\frac{1}{u_a}$	$\frac{1}{u_y}$	$W(u_{ay})$	$\frac{1}{u_a}$	$\frac{1}{u_y}$	$W(u_{ay})$
10		1.82	10		1.80	5		1.19
10^2		4.04	50		3.24	10		1.75
10^3		6.31	10^2		3.81	50		2.95
$5 \cdot 10^3$		7.82	$2 \cdot 10^2$		4.30	10^2		3.29
10^4		8.40	$5 \cdot 10^2$		4.71	$5 \cdot 10^2$		3.50
10^5		9.42	10^3		4.83	10^3		3.51
10^6		9.44	10^4		4.85		$4 \cdot 10^{-1}$	3.51
	$4 \cdot 10^2$	9.45		4	4.86		4	3.54
	$4 \cdot 10^3$	9.54		40	4.95		20	3.69
	$4 \cdot 10^4$	10.23		$4 \cdot 10^2$	5.64		40	3.85
	$4 \cdot 10^5$	12.31		$4 \cdot 10^3$	7.72		$1,5 \cdot 10^2$	4.55
	$4 \cdot 10^6$	14.61		$4 \cdot 10^4$	10.01		$4 \cdot 10^2$	5.42
$\frac{r}{D} = 0.316$			$\frac{r}{D} = 0.4$			$\frac{r}{D} = 0.6$		
$\frac{1}{u_a}$	$\frac{1}{u_y}$	$W(u_{ay})$	$\frac{1}{u_a}$	$\frac{1}{u_y}$	$W(u_{ay})$	$\frac{1}{u_a}$	$\frac{1}{u_y}$	$W(u_{ay})$
1		0.216	1		0.213	1		0.206
2		0.544	2		0.534	2		0.504
5		1.153	5		1.114	5		0.996
10		1.655	10		1.564	10^-1		1.1311
50		2.504	50		2.181	20		1.1493
10^2		2.623	10^2		2.225	50		1.553
10^3		2.648	10^3		2.229	10^2		1.555
	$4 \cdot 10^{-1}$	2.66		10^{-1}	2.23		$4,44 \cdot 10^{-1}$	1.586
	4	2.74		1	2.26		2.22	1.707
	40	3.38		5	2.40		4.44	1.844
	$4 \cdot 10^2$	5.42		10	2.55		16.7	2.448

$\frac{r}{D} = 0.8$			$\frac{r}{D} = 1.0$			$\frac{r}{D} = 1.5$		
$\frac{1}{u_a}$	$\frac{1}{u_y}$	$W(u_{ay})$	$\frac{1}{u_a}$	$\frac{1}{u_y}$	$W(u_{ay})$	$\frac{1}{u_a}$	$\frac{1}{u_y}$	$W(u_{ay})$
$5 \cdot 10^{-1}$		0.046	$5 \cdot 10^{-1}$		0.0444	$5 \cdot 10^{-1}$		0.0394
1		0.197	1		0.1855	1		0.1509
2		0.466	2		0.421	1.25		0.1999
5		0.857	5		0.715	2		0.301
10		1.050	10		0.819	5		0.413
20		1.121	20		0.841	10		0.427
50		1.131	50		0.842	20		0.428
$2.5 \cdot 10^{-2}$	1.133		$4 \cdot 10^{-2}$	0.844		$7.11 \cdot 10^{-2}$	0.444	
$2.5 \cdot 10^{-1}$	1.158		$4 \cdot 10^{-1}$	0.901		$3.55 \cdot 10^{-1}$	0.509	
1.25	1.264		4	1.356		$7.11 \cdot 10^{-1}$	0.587	
2.5	1.387		40	3.140		2.67	0.963	
9.37	1.938		40	3.140		7.11	1.569	
25	2.704							
$\frac{r}{D} = 2.0$			$\frac{r}{D} = 2.5$			$\frac{r}{D} = 3.0$		
$\frac{1}{u_a}$	$\frac{1}{u_y}$	$W(u_{ay})$	$\frac{1}{u_a}$	$\frac{1}{u_y}$	$W(u_{ay})$	$\frac{1}{u_a}$	$\frac{1}{u_y}$	$W(u_{ay})$
$3.33 \cdot 10^{-1}$	0.0100		$5 \cdot 10^{-1}$		0.0271	$5 \cdot 10^{-1}$		0.0210
$5 \cdot 10^{-1}$	0.0335		1		0.0803	1		0.0534
1	0.114		1.25		0.0961	1.25		0.0607
1.25	0.114		2		0.1174	2		0.0681
2	0.194		5		0.1247	5		0.0695
5	0.227		10		0.1247	10		0.0695
10	0.228		$2.56 \cdot 10^{-2}$	0.1321		$1.78 \cdot 10^{-2}$	0.0743	
$4 \cdot 10^{-2}$	0.239		$1.28 \cdot 10^{-1}$	0.1617		$8.89 \cdot 10^{-2}$	0.0939	
$2 \cdot 10^{-1}$	0.283		$2.56 \cdot 10^{-1}$	0.1988		$1.78 \cdot 10^{-1}$	0.1189	
$4 \cdot 10^{-1}$	0.337		$9.6 \cdot 10^{-1}$	0.3990		$6.67 \cdot 10^{-1}$	0.2418	

BILAGA 3

Sambandet mellan u och $W(u, \frac{r}{\lambda})$ för olika värden på parametern $(\frac{r}{\lambda})$

$$u = \frac{s \cdot r^2}{4k \cdot H \cdot t}$$

$$W(u, \frac{r}{\lambda}) = \int_0^\infty \frac{1}{y} \cdot \exp\left(-y - \frac{r^2}{4\lambda^2 y}\right) dy$$

r = avstånd från pumpbrunnens centrumlinje

s = magasinskoefficienten

k = permeabiliteten

H = vattenförande sektionens mäktighet före pumpstart

t = tid

$$\lambda = \sqrt{k \cdot H \cdot C}$$

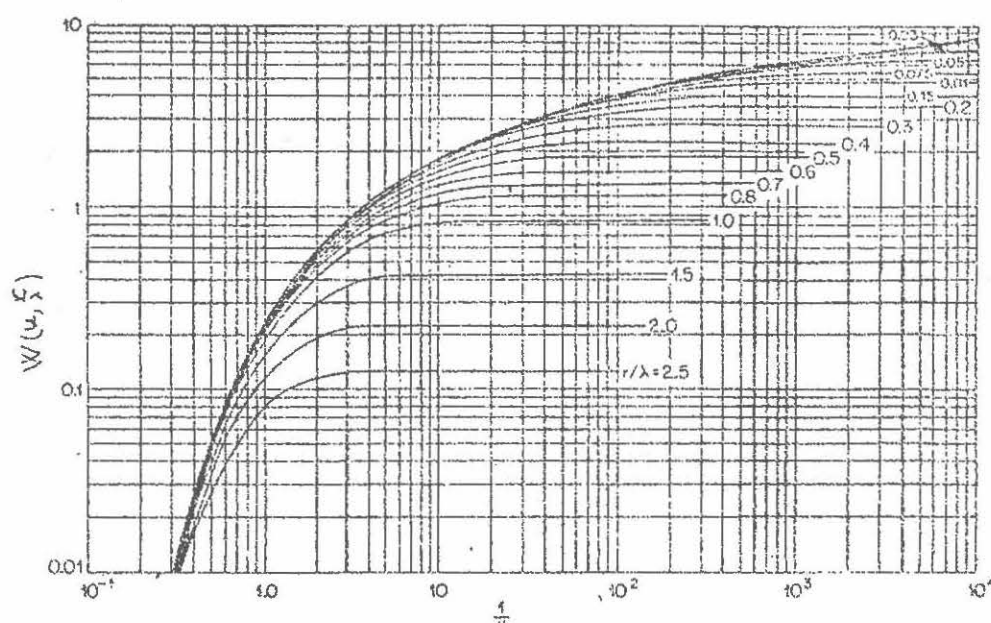
$$C = \frac{m'}{k'}$$

m' = det semipermeabla lagrets mäktighet

k' = det semipermeabla lagrets vertikala permeabilitet

Litt: Hantush och Jacob 1955

Hantush 1964



Sambandet mellan $\frac{1}{u}$ och $W(u)$ för olika värden på parametern $(\frac{r}{\lambda})$. Efter Walton 1970.

Värden på funktionen $W(u, \frac{r}{r_0})$

μ	r/λ	0-1	0-15	0-2	0-25	0-3	0-35	0-4	0-45	0-5	0-55	0-6	0-65	0-7	0-75	0-8	0-85	0-9	0-95	1-0
0	4-8541	4-0601	3-5054	3-0850	2-7449	2-4654	2-2291	2-0258	1-8488	1-6931	1-5550	1-4317	1-3210	1-2212	1-1307	1-0485	0-9735	0-9049	0-8430	
0-0001																				
0-0002																				
0-0003	4-8541																			
0-0004	4-8539																			
0-0005	4-8530																			
0-0006	4-8510	4-0601																		
0-0007	4-8478	4-0606																		
0-0008	4-8430	4-0599																		
0-0009	4-8368	4-0598																		
0-001	4-8292	4-0595	3-5054																	
0-002	4-7079	4-0435	3-5043	3-0830	2-7449															
0-003	4-5622	4-0092	3-4969	3-0821	2-7448															
0-004	4-4230	3-9551	3-4806	3-0788	2-7444	2-4654														
0-005	4-2900	3-8821	3-4567	3-0719	2-7428	2-4651	2-2291													
0-006	4-1812	3-8384	3-4274	3-0614	2-7398	2-4664	2-2389	2-0258												
0-007	4-0771	3-7529	3-3947	3-0476	2-7350	2-4630	2-2285	2-0257												
0-008	3-9822	3-6903	3-3598	3-0311	2-7284	2-4608	2-2179	2-0256	1-8488											
0-009	3-8932	3-6362	3-3239	3-0126	2-7202	2-4578	2-2169	2-0253	1-8487											
0-01	3-8150	3-5725	3-2875	2-9925	2-7104	2-4534	2-2253	2-0246	1-8486	1-6931	1-5550	1-4317	1-3210	1-2212	1-1307	1-0485				
0-02	3-2442	3-1158	2-9521	2-7658	2-5683	2-3713	2-1809	2-0233	1-8379	1-6883	1-5530	1-4309	1-3207	1-2210	1-1306	1-0484	0-9735	0-9049		
0-03	2-8873	2-8017	2-6895	2-5571	2-4110	2-3258	2-1031	1-9515	1-8062	1-6695	1-5423	1-4251	1-3177	1-2195	1-1299	1-0481	0-9733	0-9048		
0-04	2-6268	2-5655	2-4816	2-3812	2-2661	2-1431	2-0155	1-8889	1-7603	1-6379	1-5213	1-4117	1-3094	1-2146	1-1270	1-0465	0-9724	0-9044		
0-05	2-4271	2-3776	2-3110	2-2299	2-1371	2-0354	1-9283	1-8181	1-7075	1-6200	1-4927	1-3914	1-2955	1-2052	1-1210	1-0426	0-9700	0-9029		
0-06	2-2622	2-2218	2-1673	2-1002	2-0227	1-9369	1-8452	1-7497	1-6524	1-5551	1-4593	1-3663	1-2770	1-1919	1-1116	1-0362	0-9657	0-9001		
0-07	2-1232	2-0894	2-0435	1-9867	1-9206	1-8469	1-7673	1-6835	1-5923	1-5701	1-4232	1-3389	1-2551	1-1754	1-0993	1-0272	0-9593	0-8956		
0-08	2-0034	1-9745	1-9351	1-8891	1-8290	1-7646	1-6947	1-6206	1-5436	1-4650	1-3860	1-3078	1-2310	1-1554	1-0847	1-0161	0-9510	0-8895		
0-09	1-8983	1-8732	1-8389	1-7961	1-7460	1-6892	1-6272	1-5609	1-4918	1-4200	1-3486	1-2766	1-2058	1-1358	1-0682	1-0032	0-9411	0-8819		
0-1	1-8050	1-7829	1-7527	1-7149	1-6704	1-6198	1-5644	1-5043	1-4422	1-3774	1-3115	1-2451	1-1791	1-1140	1-0505	0-9890	0-9297	0-8730		
0-2	1-2155	1-2066	1-1934	1-1789	1-1492	1-1367	1-1145	1-0879	1-0592	1-0236	0-9944	0-9529	0-9284	0-8933	0-8575	0-8185	0-7591	0-7148		
0-3	0-9018	0-8699	0-8062	0-8817	0-8713	0-8593	0-8437	0-8316	0-8142	0-7964	0-7715	0-7577	0-7369	0-7154	0-6795	0-6476	0-6244	0-6010		
0-4	0-7000	0-6699	0-6927	0-6874	0-6809	0-6733	0-6647	0-6551	0-6446	0-6332	0-6209	0-6080	0-5943	0-5801	0-5653	0-5501	0-5185	0-5024		
0-5	0-5581	0-5561	0-5532	0-5496	0-5453	0-5402	0-5344	0-5278	0-5206	0-5128	0-5044	0-4955	0-4860	0-4761	0-4656	0-4440	0-4226	0-4168		
0-6	0-4832	0-4518	0-4498	0-4472	0-4441	0-4405	0-4364	0-4317	0-4266	0-4210	0-4150	0-4086	0-4018	0-3946	0-3871	0-3793	0-3712	0-3629		
0-7	0-3729	0-3719	0-3704	0-3685	0-3663	0-3636	0-3606	0-3572	0-3534	0-3493	0-3449	0-3401	0-3351	0-3297	0-3242	0-3183	0-3123	0-3040		
0-8	0-3100	0-3092	0-3081	0-3067	0-3050	0-3030	0-3008	0-2982	0-2953	0-2922	0-2889	0-2853	0-2815	0-2774	0-2732	0-2687	0-2641	0-2592		
0-9	0-2597	0-2591	0-2583	0-2572	0-2559	0-2544	0-2537	0-2507	0-2485	0-2461	0-2436	0-2408	0-2378	0-2347	0-2314	0-2280	0-2244	0-2207		
1-0	0-2190	0-2186	0-2179	0-2171	0-2161	0-2159	0-2135	0-2120	0-2103	0-2085	0-2065	0-2043	0-2030	0-1995	0-1970	0-1943	0-1885	0-1855		
2-0	0-0488	0-0483	0-0487	0-0486	0-0485	0-0484	0-0482	0-0480	0-0477	0-0475	0-0473	0-0470	0-0467	0-0463	0-0459	0-0456	0-0452	0-0448		
3-0	0-0130	0-0130	0-0130	0-0130	0-0130	0-0130	0-0129	0-0129	0-0128	0-0128	0-0127	0-0126	0-0125	0-0125	0-0125	0-0123	0-0123	0-0122		
4-0	0-0038	0-0038	0-0038	0-0038	0-0038	0-0038	0-0038	0-0037	0-0037	0-0037	0-0037	0-0037	0-0037	0-0037	0-0037	0-0036	0-0036	0-0036		
5-0	0-0011	0-0011	0-0011	0-0011	0-0011	0-0011	0-0011	0-0011	0-0011	0-0011	0-0011	0-0011	0-0011	0-0011	0-0011	0-0011	0-0011	0-0011		
6-0	0-0004	0-0004	0-0004	0-0004	0-0004	0-0004	0-0004	0-0004	0-0004	0-0004	0-0004	0-0004	0-0004	0-0004	0-0004	0-0004	0-0004	0-0004		
7-0	0-0001	0-0001	0-0001	0-0001	0-0001	0-0001	0-0001	0-0001	0-0001	0-0001	0-0001	0-0001	0-0001	0-0001	0-0001	0-0001	0-0001	0-0001		
8-0	0-0000	0-0000	0-0000	0-0000	0-0000	0-0000	0-0000	0-0000	0-0000	0-0000	0-0000	0-0000	0-0000	0-0000	0-0000	0-0000	0-0000	0-0000		

μ	r/λ	1-0	1-5	2-0	2-5	3-0	3-5	4-0	4-5	5-0	6-0	7-0	8-0	9-0
0	0-8420	0-4276	0-2278	0-1247	0-0695	0-0392	0-0223	0-0128	0-0074	0-0025	0-0008	0-0003	0-0001	
0-01														
0-02														
0-03	0-8420													
0-04	0-8418													
0-05	0-8409													
0-06	0-8391													
0-07	0-8360	0-4276												
0-08	0-8316	0-4275												
0-09	0-8259	0-4274												
0-1	0-8190	0-4271	0-2278											
0-2	0-7145	0-4268	0-2247	0-0695										
0-3	0-6010	0-2812	0-2211	0-1240	0-0694									
0-4	0-5024	0-3411	0-2096	0-1217	0-0691	0-0392								
0-5	0-4210	0-3007	0-1944	0-1174	0-0681	0-0390	0-0223							
0-6	0-3543	0-1630	0-1774	0-1112	0-0664	0-0386	0-0222	0-0128						
0-7	0-2996	0-2292	0-1602	0-1040	0-0639	0-0379	0-0221	0-0127						
0-8	0-2543	0-1994	0-1436	0-0661	0-0607	0-0368	0-0218	0-0127	0-0074					
0-9	0-2168	0-1734	0-1281	0-0681	0-0572	0-0354	0-0213	0-0125	0-0073					
1-0	0-1855	0-1509	0-1139	0-0803	0-0534	0-0338	0-0207	0-0123	0-0073	0-0025				
2-0	0-0444	0-0394	0-0355	0-0271	0-0210	0-0155	0-0112	0-0077	0-0051	0-0021	0-0008	0-0003		
3-0	0-0122	0-0112	0-0100	0-0086	0-0071	0-0045	0-0034	0-0025	0-0012	0-0006	0-0003	0-0002	0-0001	
4-0	0-0036	0-0034	0-0031	0-0027	0-0024	0-0020	0-0016	0-0013	0-0010	0-0006	0-0002	0		

BILAGA 4

Funktionerna $E_1(u_g)$, $E_2(u_g)$, $E_3(u_g)$, $E_4(u_g)$ och $E_5(u_g)$.

$$u_g = \frac{x}{2} \sqrt{\frac{S}{k H \cdot t}}$$

x = vinkelrätt avstånd från galleri

S = magasinskoefficient

k = permeabilitet

H = vattenförande sektionens mäktighet för avsänkningen

t = tid

Litt: Huisman 1972

u_3	$E_1(u)$	$E_2(u)$	$E_3(u)$	$E_4(u)$	$E_5(u)$
0.000	1.0000	1.0000	1.0000	1.0000	1.0000
0.002	0.9977 23	1.0000 00	0.9965 35	0.9955 45	0.9947 53
0.004	0.9955 22	1.0000 00	0.9929 35	0.9910 45	0.9894 53
0.006	0.9932 23	1.0000 01	0.9894 35	0.9865 44	0.9842 53
0.008	0.9910 22	0.9999 00	0.9859 35	0.9821 45	0.9789 52
0.010	0.9887 23	0.9999 00	0.9824 35	0.9776 44	0.9737 52
0.012	0.9865 23	0.9999 01	0.9789 35	0.9732 44	0.9685 51
0.014	0.9842 23	0.9998 01	0.9754 35	0.9688 44	0.9634 52
0.016	0.9819 23	0.9997 01	0.9719 35	0.9644 44	0.9582 51
0.018	0.9797 22	0.9997 00	0.9684 34	0.9600 44	0.9531 51
0.020	0.9774 23	0.9996 01	0.9650 35	0.9536 43	0.9480 51
0.022	0.9752 23	0.9995 01	0.9615 35	0.9513 43	0.9429 50
0.024	0.9729 23	0.9994 01	0.9580 34	0.9470 43	0.9379 50
0.026	0.9707 22	0.9993 01	0.9546 34	0.9427 44	0.9329 50
0.028	0.9684 23	0.9992 01	0.9512 35	0.9383 42	0.9279 50
0.030	0.9662 22	0.9991 01	0.9477 34	0.9341 43	0.9229 50
0.032	0.9639 23	0.9990 02	0.9443 34	0.9298 43	0.9179 49
0.034	0.9616 23	0.9988 02	0.9409 34	0.9255 42	0.9130 49
0.036	0.9594 22	0.9987 01	0.9375 34	0.9213 43	0.9081 49
0.038	0.9571 23	0.9986 01	0.9341 34	0.9170 41	0.9032 49
0.040	0.9549 22	0.9984 02	0.9307 34	0.9129 42	0.8983 48
0.042	0.9526 22	0.9982 01	0.9273 34	0.9087 42	0.8935 48
0.044	0.9504 23	0.9981 02	0.9239 33	0.9045 42	0.8887 48
0.046	0.9481 23	0.9979 02	0.9206 34	0.9003 41	0.8839 48
0.048	0.9459 23	0.9977 02	0.9172 33	0.8962 42	0.8791 47
0.050	0.9436 22	0.9975 02	0.9139 34	0.8920 40	0.8744 48
0.052	0.9414 23	0.9973 02	0.9105 33	0.8880 42	0.8696 47
0.054	0.9391 22	0.9971 02	0.9072 33	0.8838 40	0.8649 47
0.056	0.9369 23	0.9969 03	0.9039 33	0.8798 41	0.8602 46
0.058	0.9346 22	0.9966 02	0.9006 33	0.8757 40	0.8556 47
0.060	0.9324 23	0.9964 03	0.8973 34	0.8717 41	0.8509 46
0.062	0.9301 22	0.9962 03	0.8939 32	0.8776 40	0.8463 46
0.064	0.9279 23	0.9959 03	0.8907 33	0.8636 40	0.8417 46
0.066	0.9256 23	0.9957 03	0.8874 33	0.8595 41	0.8371 46
0.068	0.9234 22	0.9954 03	0.8841 33	0.8555 40	0.8325 45
0.070	0.9211 23	0.9951 03	0.8808 33	0.8515 40	0.8280 45

μ_3	$E_1(\mu)$	$E_2(\mu)$	$E_3(\mu)$	$E_4(\mu)$	$E_5(\mu)$					
0.070	0.9211	22	0.9951	03	0.8808	32	0.8515	39	0.8280	45
0.072	0.9189	22	0.9948	03	0.8776	32	0.8476	39	0.8235	45
0.074	0.9167	22	0.9945	03	0.8743	33	0.8437	39	0.8190	45
0.076	0.9144	23	0.9942	03	0.8711	32	0.8397	40	0.8145	45
0.078	0.9122	22	0.9939	03	0.8678	33	0.8358	39	0.8100	45
0.080	0.9099	23	0.9936	03	0.8646	32	0.8319	39	0.8056	44
		22				32		39		44
0.082	0.9077	23	0.9933	03	0.8614	32	0.8280	39	0.8012	44
0.084	0.9054	22	0.9930	04	0.8582	32	0.8241	39	0.7968	44
0.086	0.9032	22	0.9926	03	0.8550	32	0.8202	38	0.7924	43
0.088	0.9010	22	0.9923	04	0.8518	32	0.8164	39	0.7881	43
0.090	0.8987	23	0.9919	04	0.8486	32	0.8125	38	0.7838	43
		22				32		38		43
0.092	0.8965	23	0.9916	04	0.8454	32	0.8087	38	0.7795	43
0.094	0.8942	22	0.9912	04	0.8422	32	0.8049	38	0.7752	43
0.096	0.8920	22	0.9908	04	0.8390	32	0.8011	38	0.7709	43
0.098	0.8898	23	0.9904	04	0.8359	31	0.7973	38	0.7666	42
0.100	0.8875	111	0.9900	20	0.8327	156	0.7935	185	0.7624	209
0.11	0.8764	112	0.9880	23	0.8171	154	0.7750	184	0.7415	203
0.12	0.8652	111	0.9857	25	0.8017	153	0.7566	179	0.7212	199
0.13	0.8541	110	0.9832	26	0.7864	150	0.7387	175	0.7013	194
0.14	0.8431	111	0.9806	28	0.7714	149	0.7212	173	0.6819	189
0.15	0.8320	110	0.9778	31	0.7565	146	0.7039	168	0.6630	185
0.16	0.8210	110	0.9747	32	0.7419	145	0.6871	166	0.6445	181
0.17	0.8100	109	0.9715	34	0.7274	142	0.6705	163	0.6264	176
0.18	0.7991	109	0.9681	36	0.7132	141	0.6542	159	0.6088	172
0.19	0.7882	109	0.9645	37	0.6991	139	0.6383	156	0.5916	167
0.20	0.7773	108	0.9608	39	0.6852	136	0.6227	153	0.5749	164
0.21	0.7665	108	0.9569	41	0.6716	135	0.6074	150	0.5585	
0.22	0.7557	107	0.9528	43	0.6581	133	0.5924	147	0.5426	159
0.23	0.7450	107	0.9485	45	0.6448	131	0.5777	144	0.5270	156
0.24	0.7343	106	0.9440	46	0.6317	130	0.5633	141	0.5119	151
0.25	0.7237	106	0.9394	48	0.6187	127	0.5492	139	0.4971	148
0.26	0.7131	105	0.9346	49	0.6060	125	0.5353	135	0.4827	
0.27	0.7026	105	0.9297	51	0.5935	124	0.5218	133	0.4686	141
0.28	0.6921	104	0.9246	53	0.5811	122	0.5085	130	0.4549	137
0.29	0.6817	103	0.9193	54	0.5689	120	0.4955	126	0.4416	133
0.30	0.6714		0.9139		0.5559		0.4829		0.4286	

μ_2	$E_1(\mu)$	$E_2(\mu)$	$E_3(\mu)$	$E_4(\mu)$	$E_5(\mu)$					
0.30	0.6714	103	0.9139	55	0.5569	118	0.4829	125	0.4286	127
0.31	0.6611	102	0.9084	55	0.5451	116	0.4704	121	0.4159	124
0.32	0.6509	102	0.9027	57	0.5335	114	0.4583	120	0.4035	124
0.33	0.6407	102	0.8968	59	0.5221	113	0.4463	117	0.3915	120
0.34	0.6306	101	0.8908	60	0.5108	113	0.4346	117	0.3798	117
0.35	0.6206	100	0.8847	61	0.4997	111	0.4232	114	0.3684	114
		99		63		109		111		111
0.36	0.6107	99	0.8784	63	0.4888	107	0.4121	109	0.3573	108
0.37	0.6008	98	0.8721	63	0.4781	106	0.4012	106	0.3465	105
0.38	0.5910	97	0.8655	63	0.4675	104	0.3906	104	0.3360	103
0.39	0.5813	97	0.8589	66	0.4571	102	0.3802	103	0.3257	103
0.40	0.5716	96	0.8521	66	0.4469	102	0.3699	103	0.3158	99
				68		101		100		97
0.41	0.5620	95	0.8453	68	0.4368	98	0.3599	98	0.3061	94
0.42	0.5525	94	0.8383	70	0.4270	97	0.3501	95	0.2967	92
0.43	0.5431	93	0.8312	71	0.4173	96	0.3406	92	0.2875	90
0.44	0.5338	93	0.8240	72	0.4077	94	0.3314	92	0.2785	87
0.45	0.5245	92	0.8167	73	0.3983	92	0.3222	89	0.2698	84
				73		92		89		84
0.46	0.5153	90	0.8093	74	0.3891	90	0.3133	85	0.2614	83
0.47	0.5063	90	0.8018	75	0.3801	89	0.3048	85	0.2531	80
0.48	0.4973	90	0.7942	75	0.3712	88	0.2963	84	0.2451	77
0.49	0.4883	88	0.7865	76	0.3624	85	0.2879	80	0.2374	76
0.50	0.4795	87	0.7783	77	0.3539	85	0.2799	78	0.2298	74
				73		85		78		74
0.51	0.4708	87	0.7710	79	0.3454	82	0.2721	78	0.2224	70
0.52	0.4621	86	0.7631	80	0.3372	81	0.2643	76	0.2154	69
0.53	0.4535	84	0.7551	80	0.3291	80	0.2567	72	0.2085	68
0.54	0.4451	84	0.7471	81	0.3211	78	0.2495	72	0.2017	65
0.55	0.4367	83	0.7390	82	0.3133	77	0.2423	70	0.1952	63
				82		77		70		63
0.56	0.4284	82	0.7308	82	0.3056	75	0.2353	68	0.1839	62
0.57	0.4202	81	0.7226	83	0.2981	74	0.2285	66	0.1827	60
0.58	0.4121	80	0.7143	83	0.2907	72	0.2219	65	0.1767	59
0.59	0.4041	80	0.7060	83	0.2835	71	0.2154	65	0.1708	55
0.60	0.3961	78	0.6977	83	0.2764	70	0.2089	61	0.1653	55
				84		70		61		55
0.61	0.3883	77	0.6893	84	0.2694	68	0.2023	59	0.1598	54
0.62	0.3806	76	0.6809	84	0.2626	67	0.1969	58	0.1544	52
0.63	0.3730	76	0.6724	85	0.2559	65	0.1911	58	0.1492	49
0.64	0.3654	74	0.6639	85	0.2494	64	0.1853	55	0.1443	49
0.65	0.3580	74	0.6554	85	0.2430		0.1798		0.1394	

n_3	$E_1(\psi)$	$E_2(\psi)$	$E_3(\psi)$	$E_4(\psi)$	$E_5(\psi)$
0.65	0.3580 74	0.5554 85	0.2430 63	0.1798 55	0.1394 46
0.66	0.3506 74	0.6469 85	0.2357 61	0.1743 52	0.1348 47
0.67	0.3434 72	0.6383 86	0.2306 61	0.1691 52	0.1301 43
0.68	0.3362 72	0.6298 85	0.2245 59	0.1639 49	0.1258 44
0.69	0.3292 70	0.6212 86	0.2186 59	0.1590 49	0.1214 41
0.70	0.3222 69	0.6126 86	0.2129 57	0.1541 48	0.1173 40
0.71	0.3153 67	0.6040 95	0.2072 55	0.1493 45	0.1133 40
0.72	0.3086 67	0.5955 95	0.2017 55	0.1448 46	0.1093 37
0.73	0.3019 67	0.5869 85	0.1963 54	0.1402 44	0.1056 37
0.74	0.2953 66	0.5783 86	0.1910 53	0.1358 43	0.1020 36
0.75	0.2888 65	0.5698 85	0.1858 52	0.1315 43	0.0985 37
0.76	0.2825 63	0.5612 85	0.1807 49	0.1275 41	0.0948 33
0.77	0.2762 62	0.5527 85	0.1758 48	0.1234 39	0.0915 32
0.78	0.2700 61	0.5442 85	0.1710 48	0.1195 38	0.0883 31
0.79	0.2639 60	0.5357 85	0.1662 46	0.1157 37	0.0852 30
0.80	0.2579 59	0.5273 84	0.1616 45	0.1120 36	0.0822 30
0.81	0.2520 58	0.5189 84	0.1571 44	0.1084 35	0.0792 28
0.82	0.2462 57	0.5105 84	0.1527 43	0.1049 34	0.0764 27
0.83	0.2405 56	0.5021 83	0.1484 43	0.1015 33	0.0737 27
0.84	0.2349 56	0.4938 83	0.1441 43	0.0982 32	0.0710 26
0.85	0.2293 54	0.4855 82	0.1400 41	0.0950 31	0.0684 24
0.86	0.2239 53	0.4773 82	0.1360 39	0.0919 30	0.0660 24
0.87	0.2186 53	0.4691 81	0.1321 38	0.0889 29	0.0636 24
0.88	0.2133 53	0.4610 81	0.1283 38	0.0860 29	0.0612 22
0.89	0.2082 51	0.4529 80	0.1245 36	0.0831 28	0.0590 22
0.90	0.2031 50	0.4449 80	0.1209 36	0.0803 27	0.0568 21
0.91	0.1981 49	0.4369 79	0.1173 34	0.0776 26	0.0547 20
0.92	0.1932 48	0.4290 79	0.1139 34	0.0750 25	0.0527 20
0.93	0.1884 48	0.4211 79	0.1105 33	0.0725 25	0.0507 19
0.94	0.1837 47	0.4133 78	0.1072 33	0.0700 25	0.0488 19
0.95	0.1791 46	0.4056 77	0.1040 32	0.0677 23	0.0470 18
0.96	0.1746 45	0.3979 76	0.1008 30	0.0654 23	0.0452 17
0.97	0.1701 43	0.3903 76	0.0978 30	0.0631 22	0.0433 16
0.98	0.1658 43	0.3827 76	0.0948 29	0.0609 21	0.0419 16
0.99	0.1615 42	0.3753 74	0.0919 28	0.0588 20	0.0403 15
1.00	0.1573 42	0.3679 74	0.0891 28	0.0568 20	0.0388 15

u_q	$E_1(u_q)$	$E_2(u_q)$	$E_3(u_q)$	$E_4(u_q)$	$E_5(u_q)$
1.00	0.1573 41	0.3679 73	0.0891 28	0.0568 20	0.0388 15
1.01	0.1532 40	0.3606 73	0.0863 27	0.0548 19	0.0373 15
1.02	0.1492 39	0.3533 72	0.0836 26	0.0529 19	0.0358 14
1.03	0.1453 39	0.3461 70	0.0810 25	0.0510 18	0.0344 13
1.04	0.1414 38	0.3391 71	0.0785 25	0.0492 17	0.0331 13
1.05	0.1376 37	0.3320 69	0.0760 24	0.0475 17	0.0318 12
1.06	0.1339 36	0.3251 68	0.0736 23	0.0458 16	0.0306 12
1.07	0.1303 36	0.3183 68	0.0713 23	0.0442 16	0.0294 12
1.08	0.1267 35	0.3115 67	0.0690 22	0.0426 15	0.0282 11
1.09	0.1232 34	0.3048 66	0.0668 22	0.0411 15	0.0271 10
1.10	0.1198 66	0.2982 130	0.0646 41	0.0396 29	0.0261 21
1.12	0.1132 63	0.2852 126	0.0605 39	0.0367 26	0.0240 19
1.14	0.1069 60	0.2726 122	0.0566 37	0.0341 25	0.0221 17
1.16	0.1009 59	0.2604 119	0.0529 35	0.0316 23	0.0204 16
1.18	0.0952 57	0.2485 119	0.0494 32	0.0293 21	0.0188 15
1.20	0.0897 55	0.2369 116	0.0462 31	0.0272 20	0.0173 14
1.22	0.0845 50	0.2257 108	0.0431 29	0.0252 19	0.0159 13
1.24	0.0795 47	0.2149 105	0.0402 28	0.0233 18	0.0146 12
1.26	0.0748 47	0.2044 105	0.0374 25	0.0215 16	0.0134 11
1.28	0.0703 45	0.1943 101	0.0349 25	0.0199 15	0.0123 10
1.30	0.0660 41	0.1845 98	0.0325 24	0.0184 15	0.0113 9
1.32	0.0619 38	0.1751 91	0.0302 21	0.0170 14	0.0104 9
1.34	0.0581 36	0.1660 87	0.0281 20	0.0156 12	0.0095 8
1.36	0.0545 35	0.1573 84	0.0261 19	0.0144 11	0.0087 7
1.38	0.0510 33	0.1489 80	0.0242 17	0.0133 11	0.0080 7
1.40	0.0477 31	0.1409 78	0.0225 17	0.0122 9	0.0073 7
1.42	0.0446 29	0.1331 74	0.0208 15	0.0113 9	0.0066 5
1.44	0.0417 28	0.1257 74	0.0193 14	0.0104 9	0.0061 6
1.46	0.0389 26	0.1186 71	0.0179 14	0.0095 8	0.0055 5
1.48	0.0363 24	0.1119 67	0.0165 12	0.0087 7	0.0050 4
1.50	0.0339 23	0.1054 62	0.0153 12	0.0080 7	0.0046 4
1.52	0.0316 22	0.0992 59	0.0141 11	0.0073 6	0.0042 4
1.54	0.0294 20	0.0933 56	0.0130 10	0.0067 5	0.0038 3
1.56	0.0274 19	0.0877 53	0.0120 9	0.0062 5	0.0035 3
1.58	0.0255 18	0.0824 51	0.0111 9	0.0057 5	0.0032 3
1.60	0.0237 18	0.0773	0.0102 9	0.0052	0.0029

ν_3	$E_1(\nu)$	$E_2(\nu)$	$E_3(\nu)$	$E_4(\nu)$	$E_5(\nu)$					
1.60	0.0237	17	0.0773	49	0.0102	8	0.0052	5	0.0029	5
1.62	0.0220	16	0.0725	46	0.0094	7	0.0047	4	0.0026	2
1.64	0.0204	15	0.0679	43	0.0087	7	0.0043	4	0.0024	2
1.66	0.0189	14	0.0636	41	0.0080	7	0.0039	3	0.0022	2
1.68	0.0175	13	0.0595	39	0.0073	6	0.0036	3	0.0020	2
1.70	0.0162	12	0.0556	37	0.0067	5	0.0033	3	0.0018	2
1.72	0.0150	11	0.0519	35	0.0062	5	0.0030	3	0.0016	1
1.74	0.0139	11	0.0484	35	0.0057	5	0.0027	2	0.0015	2
1.76	0.0128	10	0.0452	32	0.0052	4	0.0025	2	0.0013	1
1.78	0.0118	9	0.0421	31	0.0048	4	0.0023	2	0.0012	1
1.80	0.0109	16	0.0392	29	0.0044	8	0.0021	4	0.0011	2
1.84	0.0093	15	0.0339	47	0.0036	6	0.0017	3	0.0009	2
1.88	0.0078	15	0.0292	47	0.0030	6	0.0014	3	0.0007	2
1.92	0.0066	12	0.0251	41	0.0025	5	0.0011	3	0.0006	2
1.96	0.0056	10	0.0215	36	0.0021	4	0.0009	2	0.0005	1
2.00	0.0047	9	0.0183	32	0.0017	4	0.0007	2	0.0004	2
2.10	0.0030	11	0.0122	33	0.0011	5	0.0005	2	0.0002	1
2.20	0.0019	11	0.0079	23	0.0006	2	0.0003	1	0.0001	0
2.30	0.0012	7	0.0050	29	0.0004	2	0.0002	1	0.0001	0
2.40	0.0007	5	0.0032	18	0.0002	2	0.0001	1	0.0000	0
2.50	0.0004	3	0.0019	13	0.0001	1	0.0000	0	0.0000	0
2.60	0.0002	1	0.0012	5	0.0001	1	0.0000	0	0.0000	0
2.70	0.0001	0	0.0007	3	0.0000	0	0.0000	0	0.0000	0
2.80	0.0001	1	0.0004	2	0.0000	0	0.0000	0	0.0000	0
2.90	0.0000	0	0.0002	1	0.0000	0	0.0000	0	0.0000	0
3.00	0.0000	0	0.0001	1	0.0000	0	0.0000	0	0.0000	0

BILAGA 5

Sambandet mellan ϵ_1 och $W(\epsilon_1)$.

$$\epsilon_1 = \frac{T \cdot t}{r_w^2 \cdot S}$$

r_w = pumpbrunnens effektiva radie

S = magasinskoefficient

T = transmissivitet ($k \cdot H$)

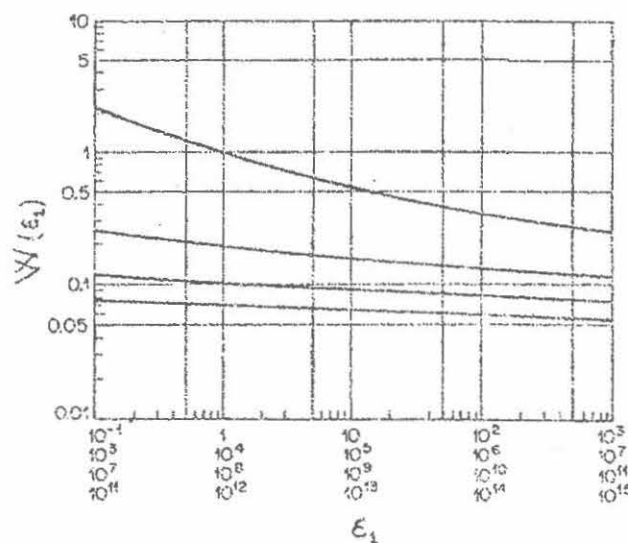
k = permeabilitet

H = vattenförande sektionens mäktighet

t = tid

Litt: Jacob och Lohman 1952

Walton 1970



Sambandet mellan ϵ_1 och $W(\epsilon_1)$. Efter Walton 1970.

Värden på $W(\epsilon_1)$.

$N \backslash \epsilon_1$	$N \times 10^{-4}$	$N \times 10^{-3}$	$N \times 10^{-2}$	$N \times 10^{-1}$	$N \times 1$	$N \times 10$	$N \times 10^2$	$N \times 10^3$	$N \times 10^4$	$N \times 10^5$	$N \times 10^6$	$N \times 10^7$	$N \times 10^8$	$N \times 10^9$	$N \times 10^{10}$	$N \times 10^{11}$
1	56.9	18.34	6.13	2.249	0.985	0.534	0.346	0.251	0.1964	0.1608	0.1360	0.1177	0.1037	0.0927	0.0238	0.0764
2	40.4	13.11	4.47	1.716	0.803	0.461	0.311	0.222	0.1841	0.1524	0.1299	0.1131	0.1082	0.0899	-0.0514	0.0744
3	31.1	10.79	3.74	1.477	0.719	0.427	0.294	0.222	0.1777	0.1479	0.1266	0.1106	0.0982	0.0883	0.0861	0.0733
4	25.7	9.41	3.30	1.333	0.667	0.405	0.283	0.215	0.1733	0.1449	0.1244	0.1089	0.0968	0.0872	0.0792	0.0726
5	25.7	8.47	3.09	1.234	0.630	0.389	0.274	0.210	0.1701	0.1426	0.1227	0.1076	0.0958	0.0864	0.0785	0.0720
6	23.5	7.77	2.78	1.160	0.602	0.377	0.268	0.206	0.1673	0.1408	0.1213	0.1060	0.0950	0.0857	0.0779	0.0716
7	21.8	7.23	2.60	1.103	0.590	0.367	0.263	0.203	0.1654	0.1393	0.1202	0.1057	0.0943	0.0851	0.0774	0.0712
8	20.4	6.79	2.46	1.057	0.562	0.359	0.258	0.200	0.1616	0.1380	0.1192	0.1049	0.0937	0.0845	0.0770	0.0709
9	19.3	6.43	2.35	1.018	0.547	0.352	0.254	0.198	0.1621	0.1389	0.1184	0.1043	0.0932	0.0842	0.0757	0.0706
10	18.3	6.13	2.25	0.985	0.534	0.346	0.251	0.196	0.1608	0.1360	0.1177	0.1037	0.0927	0.0838	0.0754	0.0704

BILAGA 6

De modifierade Bessel-funktionerna $K_0(x)$, $K_1(x)$, $I_0(x)$ och $I_1(x)$ för olika värden på x .

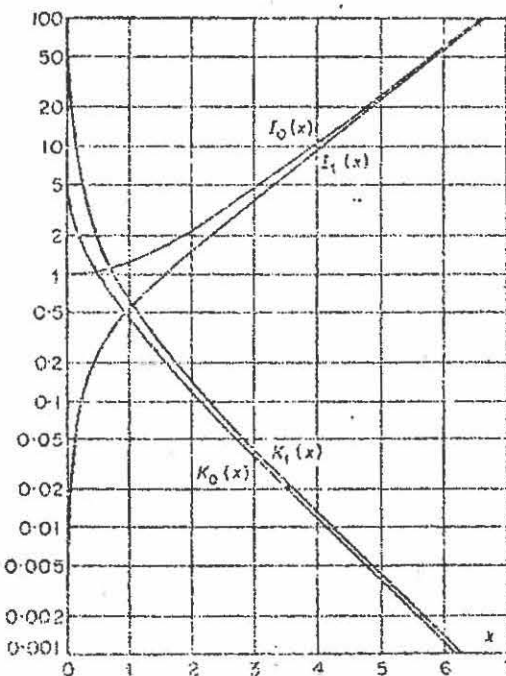
$K_0(x)$ = modifierade Besselfunktionen andra typen, nollte ordningen

$K_1(x)$ = " " , första ordningen

$I_0(x)$ = " " , nollte ordningen

$I_1(x)$ = " " , första ordningen

Litt. Huisman 1972



Modifierade Besselfunktionerna.

Efter Huisman 1972.

x	$K_0(x)$	$K_1(x)$	$I_0(x)$	$I_1(x)$	x	$K_0(x)$	$K_1(x)$	$I_0(x)$	$I_1(x)$
0.00	∞	∞	1.00000	0.00000	0.50	0.92442	1.63648	1.06348	0.25789
0.01	4.72124	99.97389	1.00003	0.00510	0.51	0.90806	1.61489	1.06609	0.26338
0.02	4.02846	49.95472	1.00010	0.01030	0.52	0.89212	1.57492	1.06875	0.26889
0.03	3.62353	33.27149	1.00023	0.01500	0.53	0.87656	1.53645	1.07147	0.27441
0.04	3.33634	24.92329	1.00040	0.02000	0.54	0.86138	1.49938	1.07424	0.27996
0.05	3.11423	19.90967	1.00063	0.02501	0.55	0.84657	1.46366	1.07707	0.28553
0.06	2.93258	16.56373	1.00090	0.03001	0.56	0.83210	1.42921	1.07995	0.29112
0.07	2.77982	14.17100	1.00123	0.03502	0.57	0.81798	1.39596	1.08289	0.29673
0.08	2.64749	12.37421	1.00160	0.04003	0.58	0.80418	1.36185	1.08588	0.30337
0.09	2.53102	10.97686	1.00203	0.04505	0.59	0.79070	1.33282	1.08894	0.30802
0.10	2.42707	9.85384	1.00250	0.05006	0.60	0.77752	1.30283	1.09205	0.31370
0.11	2.33327	8.93534	1.00303	0.05508	0.61	0.76464	1.27383	1.09521	0.31941
0.12	2.24785	8.16878	1.00360	0.06011	0.62	0.75204	1.24576	1.09843	0.32514
0.13	2.16950	7.51919	1.00423	0.06514	0.63	0.73972	1.21859	1.10171	0.33089
0.14	2.09717	6.96154	1.00491	0.07017	0.64	0.72767	1.19227	1.10505	0.33667
0.15	2.03003	6.47750	1.00563	0.07521	0.65	0.71587	1.16676	1.10945	0.34247
0.16	1.96742	6.05330	1.00641	0.08026	0.66	0.70413	1.14204	1.11120	0.34830
0.17	1.90880	5.67842	1.00724	0.08531	0.67	0.69303	1.11806	1.11341	0.35475
0.18	1.85371	5.34467	1.00812	0.09036	0.68	0.68197	1.09479	1.11898	0.36003
0.19	1.80179	5.04558	1.00905	0.09543	0.69	0.67113	1.07221	1.12251	0.36594
0.20	1.75279	4.77597	1.01003	0.10050	0.70	0.66052	1.05025	1.12630	0.37188
0.21	1.70619	4.53167	1.01106	0.10558	0.71	0.65012	1.02893	1.13035	0.37784
0.22	1.66200	4.30923	1.01214	0.11067	0.72	0.63994	1.00829	1.13386	0.38384
0.23	1.61994	4.10582	1.01327	0.11576	0.73	0.62996	9.98817	1.13773	0.38986
0.24	1.57983	3.91908	1.01445	0.12087	0.74	0.62017	0.96861	1.14166	0.39591
0.25	1.54151	3.74703	1.01569	0.12598	0.75	0.61058	0.94958	1.14565	0.40199
0.26	1.50484	3.58797	1.01697	0.13110	0.76	0.60118	0.93107	1.14970	0.40810
0.27	1.46971	3.44049	1.01831	0.13623	0.77	0.59196	0.91305	1.15381	0.41425
0.28	1.43600	3.30333	1.01970	0.14138	0.78	0.58292	0.89551	1.15798	0.42042
0.29	1.40361	3.17549	1.02114	0.14653	0.79	0.57405	0.87842	1.16222	0.42663
0.30	1.37246	3.05599	1.02263	0.15169	0.80	0.56535	0.86178	1.16651	0.43286
0.31	1.34247	2.94406	1.02417	0.15687	0.81	0.55681	0.84557	1.17097	0.43914
0.32	1.31356	2.83898	1.02576	0.16206	0.82	0.54843	0.82976	1.17530	0.44544
0.33	1.28567	2.74016	1.02741	0.16726	0.83	0.54021	0.81435	1.17978	0.45178
0.34	1.25873	2.64703	1.02911	0.17247	0.84	0.53215	0.79933	1.18433	0.45815
0.35	1.23271	2.55912	1.03086	0.17769	0.85	0.52423	0.78468	1.18895	0.46456
0.36	1.20754	2.47601	1.03266	0.18293	0.86	0.51645	0.77038	1.19362	0.47100
0.37	1.18317	2.39730	1.03452	0.18818	0.87	0.50832	0.75643	1.19837	0.47748
0.38	1.15958	2.32265	1.03643	0.19345	0.88	0.50132	0.74281	1.20317	0.48399
0.39	1.13671	2.25176	1.03839	0.19873	0.89	0.49396	0.72952	1.20805	0.49054
0.40	1.11453	2.18435	1.04040	0.20403	0.90	0.48673	0.71653	1.21298	0.49713
0.41	1.09301	2.12018	1.04247	0.20934	0.91	0.47963	0.70385	1.21799	0.50375
0.42	1.07212	2.05900	1.04459	0.21466	0.92	0.47265	0.69147	1.22306	0.51041
0.43	1.05182	2.00662	1.04676	0.22001	0.93	0.46580	0.67937	1.22820	0.51712
0.44	1.03209	1.94485	1.04899	0.22537	0.94	0.45906	0.66754	1.23340	0.52386
0.45	1.01291	1.89152	1.05127	0.23074	0.95	0.45245	0.65598	1.23868	0.53064
0.46	0.99426	1.84048	1.05360	0.23614	0.96	0.44594	0.64468	1.24402	0.53746
0.47	0.97610	1.79157	1.05599	0.24155	0.97	0.43955	0.63363	1.24963	0.54432
0.48	0.95842	1.74467	1.05843	0.24698	0.98	0.43327	0.62282	1.25490	0.55123
0.49	0.94120	1.69967	1.06093	0.25243	0.99	0.42710	0.61225	1.26045	0.55817
0.50	0.92442	1.65644	1.06348	0.25789	1.00	0.42102	0.60191	1.26607	0.56516

Bilaga 6:3

x	$K_0(x)$	$K_1(x)$	$I_0(x)$	$I_1(x)$	x	$K_0(x)$	$K_1(x)$	$I_0(x)$	$I_1(x)$
1.00	0.42102	0.60191	1.26607	0.56516	1.50	0.21381	0.27739	1.64672	0.98167
1.01	0.41506	0.59179	1.27175	0.57219	1.51	0.21105	0.27343	1.65659	0.99163
1.02	0.40919	0.58189	1.27751	0.57926	1.52	0.20834	0.26954	1.66656	0.99166
1.03	0.40342	0.57219	1.28334	0.58658	1.53	0.20566	0.26572	1.67662	1.01178
1.04	0.39774	0.56270	1.28924	0.59354	1.54	0.20302	0.26196	1.68679	1.02197
1.05	0.39216	0.55341	1.29521	0.60075	1.55	0.20042	0.25826	1.69706	1.03224
1.06	0.38667	0.54432	1.30125	0.60801	1.56	0.19786	0.25462	1.70744	1.04259
1.07	0.38128	0.53541	1.30737	0.61531	1.57	0.19533	0.25104	1.71791	1.05302
1.08	0.37597	0.52668	1.31356	0.62265	1.58	0.19284	0.24751	1.72850	1.06354
1.09	0.37074	0.51814	1.31982	0.63005	1.59	0.19038	0.24404	1.73919	1.07413
1.10	0.36560	0.50976	1.32616	0.63749	1.60	0.18795	0.24063	1.74998	1.08481
1.11	0.36055	0.50155	1.33257	0.64498	1.61	0.18557	0.23728	1.76088	1.09557
1.12	0.35557	0.49351	1.33906	0.65252	1.62	0.18321	0.23397	1.77189	1.10642
1.13	0.35068	0.48563	1.34562	0.66011	1.63	0.18089	0.23072	1.78301	1.11735
1.14	0.34586	0.47790	1.35226	0.66775	1.64	0.17859	0.22753	1.79424	1.12837
1.15	0.34112	0.47033	1.35898	0.67544	1.65	0.17633	0.22438	1.80558	1.13948
1.16	0.33645	0.46290	1.36577	0.68318	1.66	0.17411	0.22128	1.81703	1.15057
1.17	0.33186	0.45561	1.37264	0.69098	1.67	0.17191	0.21823	1.82859	1.16193
1.18	0.32734	0.44847	1.37959	0.69882	1.68	0.16974	0.21523	1.84027	1.17333
1.19	0.32289	0.44146	1.38662	0.70672	1.69	0.16760	0.21227	1.85206	1.18479
1.20	0.31851	0.43459	1.39373	0.71468	1.70	0.16550	0.20936	1.86396	1.19635
1.21	0.31420	0.42785	1.40091	0.72269	1.71	0.16342	0.20650	1.87599	1.20800
1.22	0.30995	0.42124	1.40818	0.73075	1.72	0.16137	0.20368	1.88813	1.21974
1.23	0.30577	0.41474	1.41553	0.73887	1.73	0.15924	0.20090	1.90038	1.23158
1.24	0.20166	0.40338	1.42296	0.74705	1.74	0.15735	0.19817	1.91276	1.24351
1.25	0.29760	0.40212	1.43047	0.75528	1.75	0.15538	0.19548	1.92525	1.25554
1.26	0.29361	0.39599	1.43806	0.76357	1.76	0.15344	0.19283	1.93787	1.26766
1.27	0.28968	0.38997	1.44574	0.77192	1.77	0.15152	0.19022	1.95061	1.27989
1.28	0.28581	0.38405	1.45305	0.78033	1.78	0.14963	0.18765	1.96347	1.29221
1.29	0.28200	0.37825	1.46135	0.78880	1.79	0.14777	0.18512	1.97545	1.30464
1.30	0.27825	0.37255	1.46928	0.79733	1.80	0.14593	0.18262	1.98962	1.31717
1.31	0.27455	0.36695	1.47720	0.80582	1.81	0.14412	0.18017	2.00279	1.32990
1.32	0.27091	0.36145	1.48540	0.81457	1.82	0.14235	0.17775	2.01616	1.34253
1.33	0.26732	0.35605	1.49359	0.82329	1.83	0.14056	0.17537	2.02965	1.35537
1.34	0.26379	0.35075	1.50186	0.83206	1.84	0.13882	0.17302	2.04326	1.36831
1.35	0.26031	0.34554	1.51023	0.84090	1.85	0.13710	0.17071	2.05701	1.38136
1.36	0.25688	0.34043	1.51868	0.84981	1.86	0.13541	0.16843	2.07089	1.39452
1.37	0.25350	0.33540	1.52722	0.85878	1.87	0.13373	0.16619	2.08490	1.40778
1.38	0.25017	0.33046	1.53586	0.86782	1.88	0.13208	0.16398	2.09905	1.42116
1.39	0.24669	0.32561	1.54458	0.87692	1.89	0.13045	0.16180	2.11333	1.43465
1.40	0.24365	0.32084	1.55340	0.88609	1.90	0.12885	0.15966	2.12774	1.44824
1.41	0.24047	0.31615	1.56230	0.89533	1.91	0.12726	0.15755	2.14229	1.46196
1.42	0.23733	0.31154	1.57130	0.90464	1.92	0.12569	0.15547	2.15698	1.47578
1.43	0.23423	0.30701	1.58040	0.91402	1.93	0.12415	0.15341	2.17181	1.48972
1.44	0.23119	0.30256	1.58958	0.92346	1.94	0.12263	0.15139	2.18677	1.50378
1.45	0.22819	0.29819	1.59886	0.93298	1.95	0.12112	0.14940	2.20168	1.51796
1.46	0.22523	0.29389	1.60824	0.94237	1.96	0.11964	0.14744	2.21713	1.53225
1.47	0.22231	0.28966	1.61772	0.95223	1.97	0.11817	0.14550	2.23253	1.54666
1.48	0.21943	0.28550	1.62729	0.96197	1.98	0.11673	0.14360	2.24807	1.56120
1.49	0.21660	0.28141	1.63696	0.97178	1.99	0.11530	0.14172	2.26375	1.57586
1.50	0.21381	0.27739	1.64672	0.98167	2.00	0.11389	0.13987	2.27959	1.59064

Bilaga 6:4

x	$K_0(x)$	$K_1(x)$	$I_0(x)$	$I_1(x)$	x	$K_0(x)$	$K_1(x)$	$I_0(x)$	$I_1(x)$
2.00	0.11389	0.13987	2.27959	1.59064	2.50	0.06235	0.07389	3.28984	2.51672
2.01	0.11250	0.13804	2.29557	1.60554	2.51	0.06161	0.07298	3.31512	2.53965
2.02	0.11113	0.13624	2.31170	1.62057	2.52	0.06089	0.07208	3.34063	2.56278
2.03	0.10978	0.13447	2.32798	1.63573	2.53	0.06017	0.07119	3.36638	2.58512
2.04	0.10844	0.13272	2.34441	1.65102	2.54	0.05946	0.07031	3.39236	2.60967
2.05	0.10712	0.13100	2.36100	1.66643	2.55	0.05877	0.06945	3.41837	2.63342
2.06	0.10582	0.12930	2.37774	1.68198	2.56	0.05808	0.06859	3.44503	2.65759
2.07	0.10454	0.12763	2.39464	1.69766	2.57	0.05739	0.06773	3.47172	2.68156
2.08	0.10327	0.12598	2.41169	1.71347	2.58	0.05672	0.06692	3.49866	2.70593
2.09	0.10202	0.12435	2.42891	1.72942	2.59	0.05606	0.06609	3.52384	2.73056
2.10	0.10078	0.12275	2.44528	1.74550	2.60	0.05540	0.06528	3.55327	2.75538
2.11	0.09956	0.12117	2.46382	1.76172	2.61	0.05475	0.06448	3.58095	2.78043
2.12	0.09836	0.11961	2.48152	1.77803	2.62	0.05411	0.06369	3.60888	2.80510
2.13	0.09717	0.11807	2.49938	1.79458	2.63	0.05348	0.06292	3.63706	2.83119
2.14	0.09600	0.11655	2.51741	1.81122	2.64	0.05285	0.06215	3.66550	2.85691
2.15	0.09484	0.11506	2.53561	1.82800	2.65	0.05223	0.06139	3.69420	2.88286
2.16	0.09370	0.11359	2.55397	1.84492	2.66	0.05162	0.06064	3.72316	2.90904
2.17	0.09257	0.11213	2.57250	1.86199	2.67	0.05102	0.05990	3.75238	2.93545
2.18	0.09145	0.11070	2.59121	1.87921	2.68	0.05042	0.05917	3.78187	2.96210
2.19	0.09035	0.10929	2.61009	1.89658	2.69	0.04984	0.05845	3.81163	2.98898
2.20	0.08927	0.10790	2.62914	1.92800	2.70	0.04926	0.05774	3.84165	3.01611
2.21	0.08820	0.10652	2.64837	1.93176	2.71	0.04868	0.05704	3.87195	3.04347
2.22	0.08714	0.10517	2.66778	1.94958	2.72	0.04811	0.05634	3.90252	3.07109
2.23	0.08609	0.10383	2.68736	1.96755	2.73	0.04755	0.05566	3.93337	3.09894
2.24	0.08506	0.10252	2.70713	1.98558	2.74	0.04700	0.05498	3.96450	3.12705
2.25	0.08404	0.10122	2.72703	2.00397	2.75	0.04645	0.05432	3.99591	3.15541
2.26	0.08304	0.09993	2.74721	2.02241	2.76	0.04592	0.05366	4.02761	3.18402
2.27	0.08204	0.09857	2.76753	2.04101	2.77	0.04538	0.05301	4.05959	3.21289
2.28	0.08106	0.09742	2.78803	2.05978	2.78	0.04485	0.05237	4.09187	3.24202
2.29	0.08010	0.09620	2.80872	2.07871	2.79	0.04433	0.05174	4.12444	3.27140
2.30	0.07914	0.09498	2.82961	2.09780	2.80	0.04382	0.05111	4.15730	3.30105
2.31	0.07820	0.09379	2.85068	2.11706	2.81	0.04331	0.05050	4.19046	3.33097
2.32	0.07726	0.09261	2.87195	2.13648	2.82	0.04281	0.04989	4.22392	3.36116
2.33	0.07634	0.09144	2.89341	2.15508	2.83	0.04231	0.04929	4.25768	3.39161
2.34	0.07544	0.09029	2.91507	2.17585	2.84	0.04182	0.04869	4.29175	3.42234
2.35	0.07454	0.08916	2.93693	2.19578	2.85	0.04134	0.04811	4.32613	3.45335
2.36	0.07365	0.08804	2.95899	2.21590	2.86	0.04086	0.04753	4.36032	3.48463
2.37	0.07278	0.08694	2.98125	2.23619	2.87	0.04039	0.04696	4.39582	3.51620
2.38	0.07191	0.08586	3.00371	2.25665	2.88	0.03992	0.04639	4.43114	3.54805
2.39	0.07106	0.08478	3.02638	2.27730	2.89	0.03946	0.04584	4.46678	3.58018
2.40	0.07022	0.08372	3.04926	2.29812	2.90	0.03901	0.04529	4.50275	3.61261
2.41	0.06939	0.08268	3.07234	2.31913	2.91	0.03856	0.04474	4.53904	3.64532
2.42	0.06856	0.08165	3.09564	2.34033	2.92	0.03811	0.04421	4.57566	3.67834
2.43	0.06775	0.08063	3.11915	2.36170	2.93	0.03767	0.04368	4.61261	3.71164
2.44	0.06695	0.07963	3.14287	2.38327	2.94	0.03724	0.04316	4.64939	3.74523
2.45	0.06616	0.07864	3.16682	2.40503	2.95	0.03681	0.04264	4.68751	3.77916
2.46	0.06538	0.07767	3.19098	2.42698	2.96	0.03638	0.04213	4.72547	3.81338
2.47	0.06461	0.07670	3.21536	2.44912	2.97	0.03597	0.04163	4.76378	3.84791
2.48	0.06384	0.07575	3.23996	2.47145	2.98	0.03555	0.04113	4.80243	3.88275
2.49	0.06309	0.07482	3.26479	2.49398	2.99	0.03514	0.04064	4.84144	3.91790
2.50	0.06235	0.07389	3.28984	2.51672	3.00	0.03474	0.04016	4.88079	3.95337

Bilaga 6:5

x	$K_0(x)$	$K_1(x)$	$I_0(x)$	$I_1(x)$	x	$K_0(x)$	$K_1(x)$	$I_0(x)$	$I_1(x)$
3.00	0.03474	0.04016	4.88079	3.95337	3.50	0.01960	0.02224	7.37820	6.20383
3.01	0.03434	0.03948	4.92050	3.98916	3.51	0.01932	0.02198	7.44014	6.26214
3.02	0.03395	0.03921	4.96003	4.01528	3.52	0.01916	0.02173	7.50345	6.31897
3.03	0.03356	0.03874	5.00101	4.06172	3.53	0.01894	0.02147	7.56592	6.37631
3.04	0.03317	0.03828	5.04181	4.09849	3.54	0.01873	0.02123	7.63088	6.43418
3.05	0.03279	0.03782	5.08298	4.13559	3.55	0.01852	0.02098	7.69561	6.49258
3.06	0.03241	0.03738	5.12453	4.17303	3.56	0.01831	0.02074	7.76083	6.55152
3.07	0.03204	0.03693	5.16444	4.21031	3.57	0.01810	0.02050	7.82664	6.61099
3.08	0.03163	0.03649	5.20874	4.24893	3.58	0.01790	0.02026	7.89393	6.67101
3.09	0.03131	0.03606	5.25142	4.28739	3.59	0.01770	0.02003	7.96006	6.73159
3.10	0.03095	0.03563	5.29449	4.32621	3.60	0.01750	0.01979	8.02768	6.79271
3.11	0.03060	0.03521	5.33795	4.36537	3.61	0.01730	0.01937	8.09592	6.85449
3.12	0.03025	0.03480	5.38180	4.40489	3.62	0.01711	0.01934	8.16477	6.91666
3.13	0.02990	0.03438	5.42605	4.44477	3.63	0.01692	0.01912	8.23423	6.97949
3.14	0.02956	0.03398	5.47070	4.48501	3.64	0.01673	0.01890	8.30437	7.04289
3.15	0.02922	0.03358	5.51575	4.52562	3.65	0.01654	0.01868	8.37511	7.10688
3.16	0.02889	0.03318	5.56121	4.56560	3.66	0.01635	0.01846	8.44531	7.17145
3.17	0.02856	0.03279	5.60768	4.60794	3.67	0.01617	0.01825	8.51855	7.23662
3.18	0.02824	0.03240	5.65327	4.64967	3.68	0.01599	0.01804	8.59134	7.30239
3.19	0.02791	0.03202	5.70008	4.69177	3.69	0.01581	0.01783	8.66460	7.36876
3.20	0.02759	0.03164	5.74721	4.73425	3.70	0.01563	0.01763	8.73862	7.43575
3.21	0.02728	0.03127	5.79476	4.77113	3.71	0.01546	0.01743	8.81331	7.50334
3.22	0.02697	0.03090	5.84275	4.82039	3.72	0.01528	0.01722	8.88869	7.57156
3.23	0.02666	0.03054	5.89117	4.86404	3.73	0.01511	0.01703	8.96475	7.64041
3.24	0.02636	0.03018	5.94203	4.90509	3.74	0.01494	0.01683	9.04180	7.70959
3.25	0.02606	0.02983	5.98934	4.95255	3.75	0.01477	0.01664	9.11895	7.78002
3.26	0.02576	0.02948	6.03909	4.99740	3.76	0.01461	0.01645	9.19710	7.85078
3.27	0.02547	0.02913	6.08929	5.04267	3.77	0.01445	0.01626	9.27596	7.92220
3.28	0.02518	0.02879	6.13994	5.08385	3.78	0.01428	0.01607	9.35555	7.99428
3.29	0.02489	0.02845	6.19105	5.13444	3.79	0.01412	0.01589	9.43585	8.06701
3.30	0.02461	0.02812	6.24263	5.18096	3.80	0.01397	0.01571	9.51600	8.14842
3.31	0.02433	0.02779	6.29467	5.22790	3.81	0.01381	0.01553	9.59366	8.21451
3.32	0.02405	0.02746	6.34719	5.27527	3.82	0.01365	0.01535	9.68133	8.28928
3.33	0.02378	0.02714	6.40018	5.32506	3.83	0.01350	0.01517	9.76445	8.36474
3.34	0.02351	0.02682	6.45365	5.37130	3.84	0.01333	0.01500	9.84348	8.44089
3.35	0.02325	0.02651	6.50761	5.41998	3.85	0.01320	0.01483	9.93321	8.51715
3.36	0.02298	0.02620	6.56205	5.46910	3.86	0.01306	0.01466	10.01833	8.59331
3.37	0.02272	0.02589	6.61699	5.51866	3.87	0.01291	0.01449	10.10518	8.67359
3.38	0.02246	0.02559	6.67243	5.56868	3.88	0.01277	0.01432	10.19151	8.75259
3.39	0.02221	0.02529	6.72837	5.61910	3.89	0.01262	0.01416	10.28021	8.83332
3.40	0.02196	0.02500	6.78481	5.67010	3.90	0.01248	0.01400	10.36895	8.91279
3.41	0.02171	0.02471	6.84177	5.72151	3.91	0.01234	0.01384	10.45849	8.99400
3.42	0.02146	0.02442	6.89924	5.77338	3.92	0.01221	0.01368	10.54884	9.07595
3.43	0.02122	0.02414	6.95724	5.82573	3.93	0.01207	0.01353	10.64001	9.15867
3.44	0.02098	0.02385	7.01576	5.87856	3.94	0.01194	0.01337	10.73202	9.24215
3.45	0.02074	0.02358	7.07481	5.93187	3.95	0.01180	0.01322	10.82486	9.32640
3.46	0.02051	0.02330	7.13440	5.98567	3.96	0.01167	0.01307	10.91855	9.41143
3.47	0.02028	0.02303	7.19453	6.03996	3.97	0.01154	0.01292	11.01509	9.49724
3.48	0.02005	0.02276	7.25520	6.09475	3.98	0.01141	0.01277	11.10849	9.58334
3.49	0.01982	0.02250	7.31642	6.15084	3.99	0.01129	0.01263	11.20477	9.67125
3.50	0.01960	0.02224	7.37820	6.20583	4.00	0.01116	0.01248	11.30192	9.75947

x	$K_0(x)$	$K_1(x)$	$J_0(x)$	$I_1(x)$	x	$K_0(x)$	$K_1(x)$	$J_0(x)$	$I_1(x)$
4.00	0.01116	0.01248	11.30192	9.75947	4.50	0.00640	0.00708	17.43117	15.38922
4.01	0.01104	0.01234	11.39996	9.84849	4.51	0.00633	0.00700	17.63577	15.53049
4.02	0.01091	0.01220	11.49889	9.93835	4.52	0.00626	0.00692	17.79179	15.67307
4.03	0.01079	0.01206	11.59873	10.02903	4.53	0.00619	0.00684	17.94924	15.81698
4.04	0.01067	0.01193	11.69948	10.12055	4.54	0.00612	0.00677	18.10813	15.96223
4.05	0.01055	0.01179	11.80114	10.21292	4.55	0.00606	0.00669	18.26848	16.10883
4.06	0.01044	0.01166	11.90374	10.30614	4.56	0.00599	0.00662	18.43031	16.25679
4.07	0.01032	0.01152	12.00727	10.40023	4.57	0.00592	0.00654	18.59362	16.40014
4.08	0.01021	0.01139	12.11175	10.49519	4.58	0.00586	0.00647	18.75844	16.55687
4.09	0.01009	0.01126	12.21718	10.59102	4.59	0.00579	0.00640	18.92477	16.70901
4.10	0.00998	0.01114	12.32357	10.68774	4.60	0.00573	0.00633	19.09162	16.86206
4.11	0.00987	0.01101	12.43093	10.78536	4.61	0.00567	0.00625	19.24202	17.01755
4.12	0.00976	0.01089	12.53928	10.88388	4.62	0.00561	0.00618	19.41298	17.17398
4.13	0.00965	0.01076	12.64862	10.98331	4.63	0.00554	0.00612	19.60551	17.33187
4.14	0.00954	0.01064	12.75895	11.08367	4.64	0.00548	0.00605	19.77962	17.49123
4.15	0.00944	0.01052	12.87029	11.18495	4.65	0.00542	0.00598	19.95534	17.65207
4.16	0.00933	0.01040	12.98265	11.28717	4.66	0.00536	0.00591	20.13267	17.81442
4.17	0.00923	0.01028	13.09604	11.39034	4.67	0.00530	0.00585	20.31163	17.97827
4.18	0.00913	0.01017	13.21046	11.49447	4.68	0.00525	0.00578	20.49224	18.14366
4.19	0.00903	0.01005	13.32593	11.59966	4.69	0.00519	0.00572	20.67451	18.31059
4.20	0.00893	0.00994	13.44246	11.70562	4.70	0.00513	0.00565	20.85846	18.47907
4.21	0.00883	0.00983	13.56005	11.81267	4.71	0.00508	0.00559	21.04410	18.64913
4.22	0.00873	0.00971	13.67871	11.92071	4.72	0.00502	0.00553	21.23144	18.82077
4.23	0.00863	0.00961	13.79846	12.02975	4.73	0.00497	0.00547	21.42052	18.99401
4.24	0.00854	0.00950	13.91931	12.13980	4.74	0.00491	0.00541	21.61133	19.16887
4.25	0.00844	0.00939	14.04126	12.25087	4.75	0.00485	0.00535	21.80390	19.34536
4.26	0.00835	0.00928	14.16433	12.36298	4.76	0.00480	0.00529	21.99524	19.52350
4.27	0.00826	0.00918	14.28853	12.47612	4.77	0.00475	0.00523	22.19457	19.70330
4.28	0.00817	0.00908	14.41386	12.59032	4.78	0.00470	0.00517	22.39231	19.88478
4.29	0.00808	0.00897	14.54034	12.70557	4.79	0.00465	0.00511	22.59208	20.06795
4.30	0.00799	0.00887	14.66797	12.82189	4.80	0.00460	0.00506	22.79368	20.25283
4.31	0.00790	0.00877	14.78678	12.93930	4.81	0.00455	0.00500	22.99714	20.43946
4.32	0.00781	0.00867	14.92676	13.05779	4.82	0.00450	0.00494	23.20247	20.62780
4.33	0.00773	0.00856	15.05794	13.17738	4.83	0.00445	0.00489	23.40970	20.81791
4.34	0.00764	0.00848	15.19031	13.29809	4.84	0.00440	0.00483	23.61884	21.00979
4.35	0.00756	0.00838	15.32390	13.41991	4.85	0.00435	0.00478	23.82990	21.20347
4.36	0.00747	0.00829	15.45872	13.54287	4.86	0.00430	0.00473	24.04291	21.39896
4.37	0.00739	0.00820	15.59476	13.66696	4.87	0.00425	0.00468	24.25789	21.59627
4.38	0.00731	0.00810	15.73206	13.79222	4.88	0.00421	0.00462	24.47484	21.79343
4.39	0.00723	0.00801	15.87061	13.91863	4.89	0.00416	0.00457	24.69380	21.99645
4.40	0.00715	0.00792	16.01044	14.04622	4.90	0.00412	0.00452	24.91478	22.19935
4.41	0.00707	0.00783	16.15154	14.17500	4.91	0.00407	0.00447	25.13779	22.40414
4.42	0.00699	0.00775	16.29394	14.30497	4.92	0.00403	0.00442	25.36287	22.61685
4.43	0.00692	0.00766	16.43764	14.43615	4.93	0.00399	0.00437	25.59002	22.81949
4.44	0.00684	0.00757	16.58287	14.56855	4.94	0.00394	0.00432	25.81926	23.03008
4.45	0.00676	0.00749	16.72902	14.70218	4.95	0.00390	0.00428	26.05063	23.24264
4.46	0.00669	0.00740	16.87671	14.83706	4.96	0.00386	0.00423	26.13412	23.45719
4.47	0.00662	0.00732	17.02576	14.97319	4.97	0.00381	0.00418	26.51978	23.67375
4.48	0.00654	0.00724	17.17618	15.11058	4.98	0.00377	0.00414	26.75761	23.89233
4.49	0.00647	0.00716	17.32798	15.24926	4.99	0.00373	0.00409	26.99763	24.11293
4.50	0.00640	0.00708	17.48117	15.38922	5.00	0.00369	0.00404	27.23987	24.33564

Bilaga 6:7

x	$K_0(x)$	$K_1(x)$	$I_0(x)$	$I_1(x)$
5.0	0.003691	0.004045	27.239872	24.335642
5.1	0.003308	0.003619	29.788855	26.680436
5.2	0.002966	0.003239	32.583593	29.254310
5.3	0.002659	0.002900	35.648105	32.079892
5.4	0.002385	0.002597	39.008788	35.182059
5.5	0.002139	0.002326	42.694645	38.588165
5.6	0.001918	0.002083	46.737553	42.328238
5.7	0.001721	0.001866	51.172536	46.435504
5.8	0.001544	0.001673	56.038097	50.946185
5.9	0.001386	0.001499	61.376550	55.900332
6.0	0.001244	0.001344	67.234407	61.341937
6.1	0.001117	0.001205	73.662794	67.319385
6.2	0.001003	0.001081	80.717913	73.885894
6.3	0.000900	0.000969	88.461553	81.100202
6.4	0.000808	0.000869	96.961640	89.026097
6.5	0.000726	0.000780	106.292858	97.735011
6.6	0.000652	0.000700	116.537324	107.304661
6.7	0.000586	0.000628	127.785330	117.820769
6.8	0.000526	0.000564	140.136160	129.377639
6.9	0.000473	0.000506	153.698996	142.079028
7.0	0.000425	0.000454	168.593209	156.039093
7.1	0.000382	0.000408	184.952944	171.383433
7.2	0.000343	0.000366	202.921130	188.250271
7.3	0.000308	0.000329	222.658800	206.791670
7.4	0.000277	0.000295	244.341043	227.174982
7.5	0.000249	0.000265	268.161312	249.584365
7.6	0.000224	0.000238	294.332184	274.222480
7.7	0.000201	0.000214	323.087508	301.312360
7.8	0.000181	0.000192	354.664535	331.099464
7.9	0.000163	0.000173	389.406283	363.853944
8.0	0.000146	0.000155	427.564116	399.873137
8.1	0.000132	0.000140	459.500607	439.484309
8.2	0.000118	0.000126	515.592677	483.047683
8.3	0.000107	0.000113	546.255056	530.959766
8.4	0.000096	0.000101	581.944087	583.657620
8.5	0.000086	0.000091	683.161927	641.619903
8.6	0.000078	0.000082	750.461160	705.377315
8.7	0.000070	0.000074	824.449884	775.511507
8.8	0.000062	0.000066	905.797315	852.663473
8.9	0.000057	0.000060	995.239948	937.538901
9.0	0.000051	0.000054	1093.588355	1030.914723
9.1	0.000046	0.000048	1201.734657	1133.646332
9.2	0.000041	0.000043	1320.660768	1246.675533
9.3	0.000037	0.000039	1451.447466	1371.039235
9.4	0.000033	0.000035	1595.284378	1507.879402
9.5	0.000030	0.000032	1753.480091	1658.453078
9.6	0.000027	0.000028	1927.478769	1824.144695
9.7	0.000024	0.000026	2118.864504	2006.478672
9.8	0.000022	0.000023	2329.385016	2207.133683
9.9	0.000020	0.000021	2560.963353	2427.958313
10.0	0.000018	0.000019	2315.716629	2670.988304

KOMPLETTERANDE TABELL
BESSELFUNKTIONER $K_0(x)$

x	$K_0(x)$	x	$K_0(x)$
$1 \cdot 10^{-20}$	46,1676	$1 \cdot 10^{-6}$	13,9314
$5 \cdot 10^{-20}$	44,5582	$5 \cdot 10^{-6}$	12,3220
$1 \cdot 10^{-19}$	43,8650	$1 \cdot 10^{-5}$	11,6289
$5 \cdot 10^{-19}$	42,2556	$5 \cdot 10^{-5}$	10,0194
$1 \cdot 10^{-18}$	41,5625	$1 \cdot 10^{-4}$	9,3263
$5 \cdot 10^{-18}$	39,9530	$5 \cdot 10^{-4}$	7,7168
$1 \cdot 10^{-17}$	39,2599	$1 \cdot 10^{-3}$	7,0237
$5 \cdot 10^{-17}$	37,6504	$5 \cdot 10^{-3}$	5,4143
$1 \cdot 10^{-16}$	36,9573	$1 \cdot 10^{-2}$	4,7212
$5 \cdot 10^{-16}$	35,3479	$5 \cdot 10^{-2}$	3,1142
$1 \cdot 10^{-15}$	34,6547		
$5 \cdot 10^{-15}$	33,0453		
$1 \cdot 10^{-14}$	32,3521		
$5 \cdot 10^{-14}$	30,7427		
$1 \cdot 10^{-13}$	30,0495		
$5 \cdot 10^{-13}$	28,4401		
$1 \cdot 10^{-12}$	27,7470		
$5 \cdot 10^{-12}$	26,1375		
$1 \cdot 10^{-11}$	25,4444		
$5 \cdot 10^{-11}$	23,8349		
$1 \cdot 10^{-10}$	23,1418		
$5 \cdot 10^{-10}$	21,5323		
$1 \cdot 10^{-9}$	20,8392		
$5 \cdot 10^{-9}$	19,2298		
$1 \cdot 10^{-8}$	18,5366		
$5 \cdot 10^{-8}$	16,9272		
$1 \cdot 10^{-7}$	16,2340		

BILAGA 7

Sambandet mellan ϵ_1 och $W(\epsilon_1, \frac{r_w}{B})$ för olika värden på parametern $\frac{r_w}{B}$.

$$\epsilon_1 = \frac{T \cdot r}{2 \cdot S}$$

$$\frac{r_w}{B} = \sqrt{\frac{T \cdot m'}{k'}}$$

r_w = pumpbrunnens effektiva radie

S = magasinskoeficient

T = transmissivitet ($k \cdot H$)

k = permeabilitet

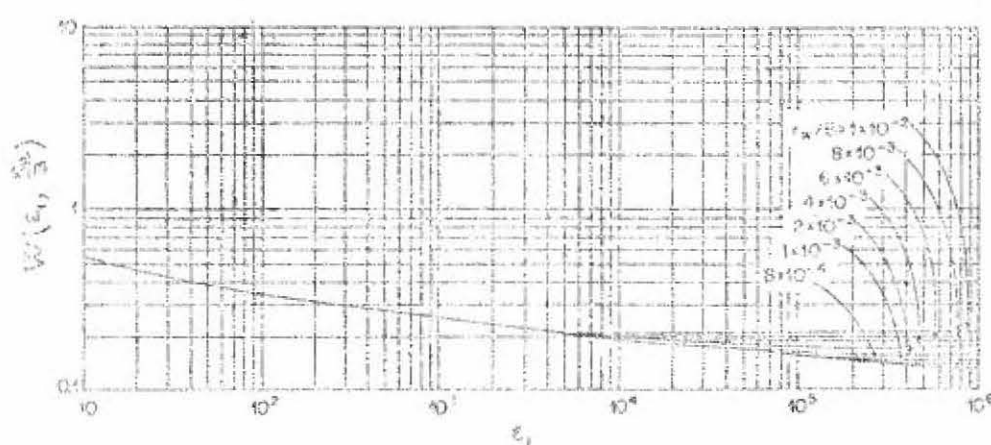
H = vattenförande sektionens mäktighet

m' = det semipermeabla lagrets mäktighet

k' = det semipermeabla lagrets vertikala permeabilitet

Litt: Hantush 1959

Walton 1970



Sambandet mellan ϵ_1 och $W(\epsilon_1)$ för olika värden på parametern $\frac{r_w}{B}$.

Efter Walton 1970.

$\frac{r_w/B}{\epsilon_1}$	0	1×10^{-8}	2×10^{-8}	4×10^{-8}	6×10^{-8}	8×10^{-8}	10^{-8}	2×10^{-7}	4×10^{-7}	6×10^{-7}	8×10^{-7}	10^{-7}	2×10^{-6}	4×10^{-6}	6×10^{-6}	8×10^{-6}	10^{-6}
1×10^0	0.346																0.346
5×10^0	0.274																0.276
1×10^1	0.251																0.255
5×10^1	0.210																0.212
1×10^2	0.196																0.196
5×10^2	0.173																0.173
1×10^3	0.161																0.161
5×10^3	0.143																0.178
1×10^4	0.135																0.161
5×10^4	0.123																0.159
1×10^5	0.118																0.144
5×10^5	0.108																0.133
1×10^6	0.104	0.104	0.104	0.104	0.105	0.106	0.108										0.127
5×10^6	0.0953	0.0958	0.0966	0.0989													0.120
1×10^7	0.0927	0.0930	0.0943	0.0980													0.113
5×10^7	0.0864	0.0859	0.0916														0.123
1×10^8	0.0838	0.0867	0.0914														0.124
5×10^8	0.0785																0.128
10×10^8	0.0764	0.0660	0.0914	0.0976	0.102	0.105	0.107	0.116	0.126	0.133	0.138	0.142	0.158	0.177	0.191	0.202	0.212

BILAGA 8

Sambandet mellan u och $H(u, \psi)$ för olika värden på parametern ψ .

$$u = \frac{r^2 \cdot S}{4T \cdot t}$$

$$\psi = \frac{r}{4} \sqrt{\frac{S' k'}{T \cdot S \cdot m'}}$$

r = avstånd från pumpbrunnens centrumlinje

S = magasinskoefficient

T = transmissivitet ($k \cdot H$)

k = permeabilitet

H = vattenförande sektionens mäktighet

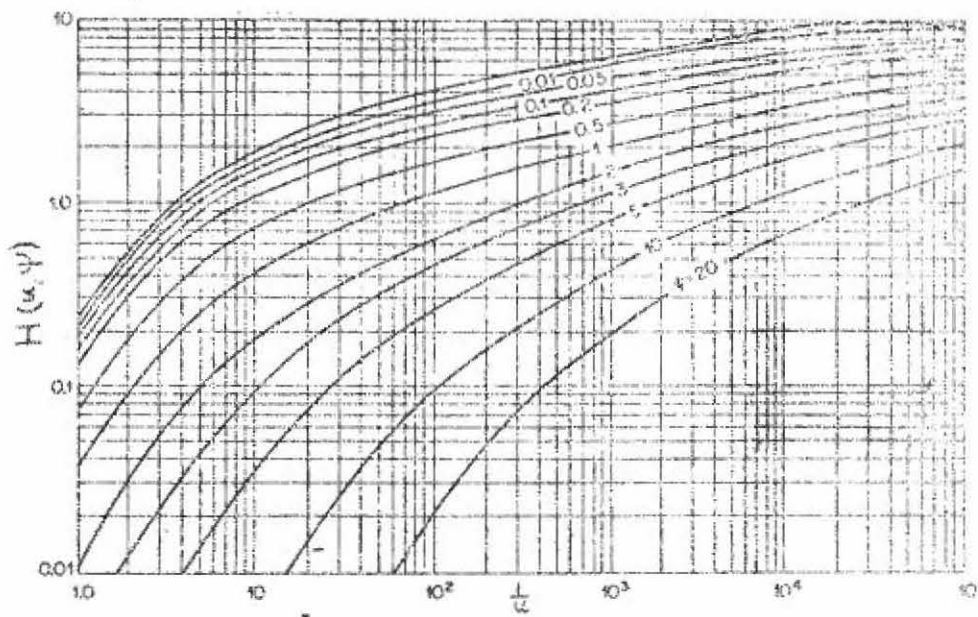
m' = det semipermeabla lagrets mäktighet

k' = det semipermeabla lagrets vertikala permeabilitet

S' = det semipermeabla lagrets magasinskoefficient

Litt: Hantush 1964

Walton 1970



Sambandet mellan $\frac{1}{u}$ och $H(u, \psi)$ för olika värden på parametern ψ .

Efter Walton 1970.

Bilaga B:2

Ψ	(-3)			(-2)			(-1)		
u	1	2	5	1	2	5	1	2	5
1(-6)	11.9842	11.4237	10.5908	9.9259	9.2469	8.3395	7.6497	6.9390	6.0463
5(-6)	10.8958	10.4566	9.7174	9.0866	8.1231	7.5284	6.8427	6.1548	5.2459
1(-5)	10.3739	9.9987	9.3203	8.7142	8.0657	7.1771	6.4944	5.8085	4.9024
5(-5)	9.0422	8.8128	8.3171	7.8031	7.2072	6.3523	5.6821	5.0045	4.1090
1(-4)	8.4258	8.2487	7.8386	7.3803	6.8208	5.9906	5.3297	4.6581	3.7700
5(-4)	6.9273	6.8375	6.6024	6.2934	5.8561	5.1223	4.4996	3.8527	2.9933
1(-3)	6.2621	6.1969	6.0193	5.7727	5.4001	4.7290	4.1337	3.5045	2.6650
5(-3)	4.6957	4.6649	4.5766	4.4474	4.2231	3.7415	3.2483	2.6891	1.9250
1(-2)	4.0163	3.9950	3.9334	3.8374	3.6659	3.2752	2.8443	2.3325	1.6193
5(-2)	2.4590	2.4502	2.4263	2.3826	2.3040	2.1007	1.8401	1.4872	0.9530
1(-1)	1.8172	1.8116	1.7949	1.7677	1.7157	1.5768	1.3893	1.1207	0.6947
5(-1)	0.5584	0.5570	0.5530	0.5463	0.5333	0.4969	0.4456	0.3591	0.2083
1(0)	0.2189	0.2184	0.2165	0.2144	0.2097	0.1961	0.1758	0.1427	81(-4)
5(0)	115(-5)	114(-5)	114(-5)	112(-5)	110(-5)	104(-5)	934(-6)	763(-6)	422(-6)
10(0)	415(-8)	414(-8)	411(-8)	407(-8)	399(-8)	375(-8)	339(-8)	277(-8)	153(-8)

*The numbers in parenthesis are powers of 10 by which the other numbers are multiplied, e.g.,

Ψ	(0)			(1)			(2)		
u	1	2	5	1	2	5	1	2	5
1(-6)	5.3575	4.6721	3.7756	3.1110	2.4671	1.6710	1.1361	0.6879	0.2698
5(-6)	4.5617	3.8836	3.0055	2.3661	1.7633	1.0574	0.6256	0.3091	787(-4)
1(-5)	4.2212	3.5481	2.6822	2.0590	1.4816	0.8285	0.4519	0.1978	338(-4)
5(-5)	3.4394	2.7848	1.9622	1.3543	0.8994	0.4024	0.1685	484(-4)	405(-5)
1(-4)	3.1052	2.4658	1.6704	1.1359	0.6878	0.2698	963(-4)	222(-4)	107(-5)
5(-4)	2.3601	1.7604	1.0564	0.6252	0.3089	787(-4)	166(-4)	169(-5)	129(-7)
1(-3)	2.0596	1.4776	0.8271	0.4513	0.1976	388(-4)	590(-5)	361(-6)	
5(-3)	1.3767	0.8915	0.4901	0.1677	493(-4)	403(-5)	205(-6)	228(-8)	
1(-2)	1.1122	0.6775	0.2670	955(-4)	221(-4)	104(-5)	274(-7)		
5(-2)	0.5812	0.2923	755(-4)	160(-4)	164(-5)	126(-7)			
1(-1)	0.3970	0.1789	359(-4)	532(-5)	340(-6)				
5(-1)	0.1006	325(-4)	288(-5)	151(-6)	171(-8)				
1(0)	365(-4)	993(-5)	547(-6)	191(-7)					
5(0)	167(-6)	309(-7)							
10(0)									

488(-4) = 0.0488.

Institutionen för VÅ-teknik

Publikationsserie A

Förteckning över publikationer

- 61:1 Beräkning av den uttagbara vattenmängden från ytvattentäkter
- 61:2 Undersökning av några ringkanaler i södra Sverige.
- 61:3 Försök med ringkanaler.
- 67:1 Lukt- och smakförbättring av kemiskt fällt och snabbfiltrerat vatten medelst behandling av klor, klor-klordioxid och klordioxid.
- 67:2 Inaktivering av poliovirus med klordioxid
- 68:1 Närslatreduktion.
- 68:2 Göteborgsregionens vattenförsörjning.
- 70:1 Om användning av spårämnesteknik vid pumpförsök.
- 70:2 Försök att med hjälp av utspädningsteknik bestämma grundvattnets skenbara medelström hastighet.
- 70:3 Spårämnen som hjälpmittel vid grundvattenundersökningar.

Förteckning över publikationer

- 62:1 Undersökning av syreindrivnings- och strömbildningsapparatur för ringkanaler, propellerluftare och valsluftare. (utgången)
- 63:1 Undersökning av syreindrivnings- och strömbildningsapparatur för ringkanaler. Mammutluftare typ AIB.
- 63:2 Försök med ringkanaler. Försöksserie 3. (utgången)
- 63:3 Koagulering, sedimentering och filtrering. Försök med lamellsedimentering.
- 63:4 Försök med kemisk rening av råvatten från Göta Älv med Degrémonts pulsator.
- 63:5 Undersökning av syreindrivnings- och strömbildningsapparatur för ringkanaler. Slangluftare.
- 64:1 Undersökning av olika metoder för smak- och luktförbättring.
- 64:2 Undersökning av biologiska dammar. Undersökning 1.
- 64:3 Undersökning av dygnsluftare. Syreindrivnings- och strömbildningsapparatur. Rörluftare och paddelverk.
- 64:4 Undersökning av dygnsluftare. Syreindrivnings- och strömbildningsapparatur. Lådluftare typ INKA.
- 64:5 Kostnader för höggradiga avloppsreningsverk.
- 64:6 Avsaltning av havsvatten.
- 64:7 Intags- och utloppsledningars konstruktiva utformning. Inventering.
- 64:8 Intags- och utloppsledningars konstruktiva utformning. Utredning.
- 65:1 Lamellsedimentering av avloppsvatten från pappersmaskiner.
- 65:2 Dimensionering av ringkanaler och långtidsluftare. I. Sammanställning av uppgifter angående användning och dimensionering av ringkanaler i Sverige.
- 66:1 Dimensionering av ringkanaler och långtidsluftare. II. Teori för behandlingsprocessen.
- 66:2 Dimensionering av ringkanaler och långtidsluftare. III Sammanställning av resultat från i Sverige utförda undersökningar av ringkanaler. (utgången)
- 66:3 Dimensionering av ringkanaler och långtidsluftare. IV. Sammanställning av resultat från i Sverige utförda undersökningar av långtidsluftare. (utgången)
- 66:4 Koagulering, sedimentering och filtrering. Försök med lamellsedimentering. II.
- 67:1 Effekttillförselns inverkan på flockuppbyggnaden. Sedimenteringsanalys som mätmetod för flockat vatten. (utgången)
- 67:2 Aluminiumsulfatåtervinning. (utgången)
- 67:3 Biodammars utformning och funktion.
- 68:1 Undersökning av dygnsluftare.
- 68:2 Hydrologisk studie av Lagans avrinningsområde.

Publikationsserie B forts.

- 69:2 Metoder för praktisk bestämning av Grundvattnets Ström hastighet.
Del I: Allmänna principer.
- 70:1 Metoder för praktisk bestämning av Grundvattnets Ström hastighet.
Del III: Fältförsök vid Gårdsryd, Nybro, Kalmar län.
Textdel och Figurbilaga.
- 71:1 Dimensionering och utformning av anläggningar för långtids luftning.
- 71:2 Elektrolytisk dosering av aluminium vid kemisk rening av vatten.
- 72:1 Metoder för praktiskt bestämning av Grundvattnets Ström hastighet.
~~IV~~: Analys av icke stationär strömning vid provpumpning av icke artesiskt grundvatten. Litteraturstudie.
- 72:2 Jämförande studier av råvattenkvaliteten och reningskostnaderna i Sverige och Finland.
- 73:1 Användning av jämklorid vid renvattenframställning.
- 73:2 Grundvattenavsänkning. Del 1. Evaluering av akvifärs geohydrologiska data med hjälp av provpumpningsdata.

Publikationsserie C

Förteckning över publikationer

- 67:1 Rapport beträffande undersökning av cirkulära sedimenteringsbassänger med olika periferidjup vid Nymölla bruk. (utgången)
- 67:2 Rapport beträffande olika organiska polymerers användbarhet som hjälpkoagulanter vid kemisk fällning av vatten.
- 68:1 Studium av inläckage i spillovattenledning tillhörande duplikatsystem, (Nolered-Röd), Göteborgs stad. (utgången)
- 68:2 Vattenundersökning i samband med nedläggning av sulfitfabriken i Edsvalla. (utgången)
- 68:3 Undersökning angående sulfit- sulfatluts inverkan på flockningsprocessen vid kemisk fällning för renvattenframställning.
- 68:4 Upprättandet av enhetshydrograf för ett bestämt och avgränsat nederbördsområde.
- 68:5 Primärfällning av avloppsvatten. (utgången)
- 69:1 Primärfällning av avloppsvatten. Laboratoriestudium.
- 70:1 Spårämnesundersökning i markbädd vid Skredsvik, Göteborgs och Bohus län.
- 71:1 Studium av tungmetallreduktion med olika kemikalier vid avloppsvattenrenning.
- 71:2 Lamellsedimentering av pappersfibrer i modellanläggning.
- 71:3 Efterfällning av avloppsvatten i pilot-plantanläggning.
En jämförelse av några olika fällningskemikalier.
- 71:4 Transport, utspädning och fastläggning av föroreningar i grundvatten:
Allmänna principer.
- 72:2 Årlig vattentillgång inom södra och mellersta Sverige. Frekvensberäkning
av år med liten tillgång.
- 73:1 Studium av deponering av slam från Rya-verket.
- 73:2 Östra Sjukhuset, Göteborg. Inventering och sammanställning av borningar
och grundvattenundersökningar utförda av AB Jacobsson & Widmark,
Göteborg, samt bedömning av lämpligt område för infiltration.